

เอกสารอ้างอิง

ภาษาไทย

ขบ. มุกตพันธุ์, ปฐพีกลศาสตร์และวิศวกรรมฐานราก, หน้า 58, กรุงเทพฯ 2526
ศูรษัตร สมพันธ์ราษฎร์, การคาดคะเนการรับน้ำหนัก และการทุ่นด้วยเสาเข็ม, หน้า
176 - 199, คณะวิศวกรรมศาสตร์, กรุงเทพมหานคร, พิมพ์ครั้งที่ 1, 2524

ศูรรม เรื่องวิชาญศิลป์, การส่งถ่ายน้ำหนักสถิต และการคาดคะเนความสามารถในการรับ
น้ำหนักบรรทุกเสาเข็มเจาะ, วิทยานิพนธ์ปริญญาโทมหาบัณฑิต
ภาควิชาวิศวกรรมโยธา บัณฑิตวิทยาลัย จุฬาลงกรณ์มหาวิทยาลัย, 2531

ภาษาอังกฤษ

AUSTRALIAN STANDARD (1978), Rule for Design and Installation of Piling.

BERENZANTZEV, V.G., Khristoferov, V.S. and Golokov, V.N. (1961), Load Bearing
Capacity and Deformation of Pile Foundation. Proc. 5 ISCMFE, Vol. 2, Paris.

B.H. FELLENJUS (1975), Test Loading of Piles and New Proof Testing Procedure. ASCE
J. Geotech. Eng. Div., 101 (GT 9).

BRZEZINSKI L.S.ETAL.(1973), An Experience with Heave of Cast In-Situ Expanded
Base Piles, Can. Geotech. J. Vol. 10,246 pp. 246- 260.

CARROLL L CROWTHER (1988), Load Testing of Deep Foundations, Wiley, Newyork.

CHIN, F.K., Estimation of the Ultimate Load of Piles from Tests Not to Failure.
Proceeding of the 2nd South-East Asian Conference of the Soil Engineering, pp.
81-82.

COLE, K.W. (1972), Uplift of Piles due to Driving Displacement. Civ. Eng. Public Works Rev.
London, March 1972. pp. 263-269.

DAVISON, M.T., High Capacity Piles. Proceedings ASCE Lecture Series. Innovations in

- Foundation Construction , Illinois Section, 1972
- DE BEER , E.E., and Walays, M., Franki Piles with Overexpanded Bases, La Technique des Travaux, Liège, Belgium, No.333 , Jan.-Feb., 1972.
- DECOURT, L. (1982), Prediction of the Bearing Capacity of Piles Based Exclusively on N Values of SPT. Proc. of ESOPT 2 Amsterdam.
- DM.7.2,(1982), Soil Mechanics, Design Manual, Department of Navy, Naval Facilities Engineering Command, U.S.A. ,p.181.
- GIBBS, H.J. and HOLTZ, W.G. (1957), Research on Determining the Density of Sands by Spoon Penetration Testing, Proc. 4th ICSMFE, London, Vol. 1, pp. 35-39.
- G.S. JAIN and VIRENDRA KUMAR (1963) , Calculations for Separating Skin Friction and Point-Bearing in Piles, J. of Materials Research & Standards pp. 290-293.
- HANNA T.H., (1973), Foundation Instrumentation. Trans Tech Publication, Cleveland, Ohio, First Edition, p. 372.
- HANSEN, J.B. (1961), General Formula for Bearing Capacity, Design Geotechnical Institute Bulletin, Vol. 11, Copenhegen.
- HANSEN, J.B. (1970), A Revise and Extended Formula for Bearing Capacity, Danish Geotechnical Institute Bulletin, Vol. 28, Copenhegen.
- H.G. POULOS and E.H. DAVIS (1980), Pile Foundation Analysis and Design, Wiley, Newyork.
- INTER-CONSULT (1990), Report on Axial Compression Load Test, Report No. I.C. 33009, 33015, 33026, Inter- Consult Co.,Ltd.
- ISMAEL, N.F. and VESIC, A.S. (1981), Compressibility and Bearing Capacity, J. of Geo. Eng. Div., ASCE Vol. 107, GT 12, Dec., pp. 1677-1691.
- KISHIDA, H. (1967), Ultimate Bearing Capacity of Piles Driven into Loose Sand. Soil and Foundations, Vol. 7, No. 3.
- LAMBE .T.W. and WHITMAN, R.V. Soil Mechanic, Wiley Eastern Privated Ltd., New Delhi, 1973.

- MAZURKIEWICZ, B.K., Test Loading of Piles According to Polish Regulations, Preliminary Report No. 35, Commission on Pile Research, Royal Swedish Academy of Engineering Sciences, Stockholm, Sweden, 1972
- MEYERHOF G.G. (1956), Penetration Test and Bearing Capacity of Cohesionless Soil, J. of the Soil Mech. and Found. Div., ASCE, Vol. 82, Sm 1, p 866.
- (1951), The Ultimate Bearing Capacity of Foundations J. of the Geotechnique Vol. 2, No. 2, p. 302.
- (1960), The Design of Franki Piles with Special Reference to Groups in Sands. Proc. Symp. Des. Pile Found. 6 th Int. Congr. Bridge Struct. Eng. Stockholm. 1960 p. 105.
- (1976), Bearing Capacity and Settlement Foundation. Proc. of ASCE, Vol. 102, GT 3.
- NORDLUND, R.L.(1970), Pressure Injected Footings. Proc. Conf. Des. Install. Pile Found. Cell. Struct. Lehigh Univ. 1970. pp. 297-308.
- SARAPIROME, S., RINTHONG, C., KHANTAPRAB, C., (1983), Note on the Environmental Geology of an Area Part of the Eastern Coastal Region, Conference on Geology and Mineral Resources of Thailand, Department of Mineral Resources, Bangkok, Nov., pp. 9-12.
- SCHMERTMANN, J.H. (1975), The Measurement In-Situ Shear Strength, Proc. Specialty Conference on In-Situ Measurement of Soil Properties, ASCE, Vol. 2.
- SCHULTZE, E. and MENZENBACH, E. (1961), Standard Penetration Test and Bangkok Compressibility of Soil, Proc. 5 th ICSMFE, Paris, Vol. 1, pp. 527-532.
- SCHULTZE, E. and MELZER, K.J. (1965), The Determination of the Density , Bangkok and Modulus of Compressibility of Non-Cohesive Soils by Soundings, Proc. 6 th ICSMFE, Montreal, Vol. 1, p. 354-358.
- SUTREHLAND, H.G. (1963), The Use of In-Situ Test to Estimate the Allowable Bearing Pressure of Cohesionless Soils, The Structural Engineer , Vol. 41, pp. 85-92.
- TERZAGHI, K. (1943), Theoretical Soil Mechanics. New York, Wiley.

- THORNBURN, S. (1963), Tentative Correction Chart for Standard Penetration in Non-Cohesive Soil. Civil Eng. and Public Work review, Vol. 5, No. 68.
- TOMLINSON, M.J. (1977), Pile Design and Construction Practice. Viewpoint Publication.
- VAN DER VEEN, C. and Broersma, L. (1957), The Bearing Capacity of Pile Predicted by Cone Penetration Test. Proc. 4 th ICSMFE.
- VESIC, A.S. (1967), A Study of Bearing Capacity of Deep Foundation. Final Report. Proj. p 189. School of Civil Eng. Georgia Inst. Tech.
- VESIC, A.S. (1977). Design of Pile Foundation. Transportation Research Board.
- W.F.CHEN (1975), Foundation Stability - Theory Applications., Analysis and Design of Building Foundations. Copyright Reserved, 1976. Envo Publishing Company, Inc. pp. 37-58 , 77-76.

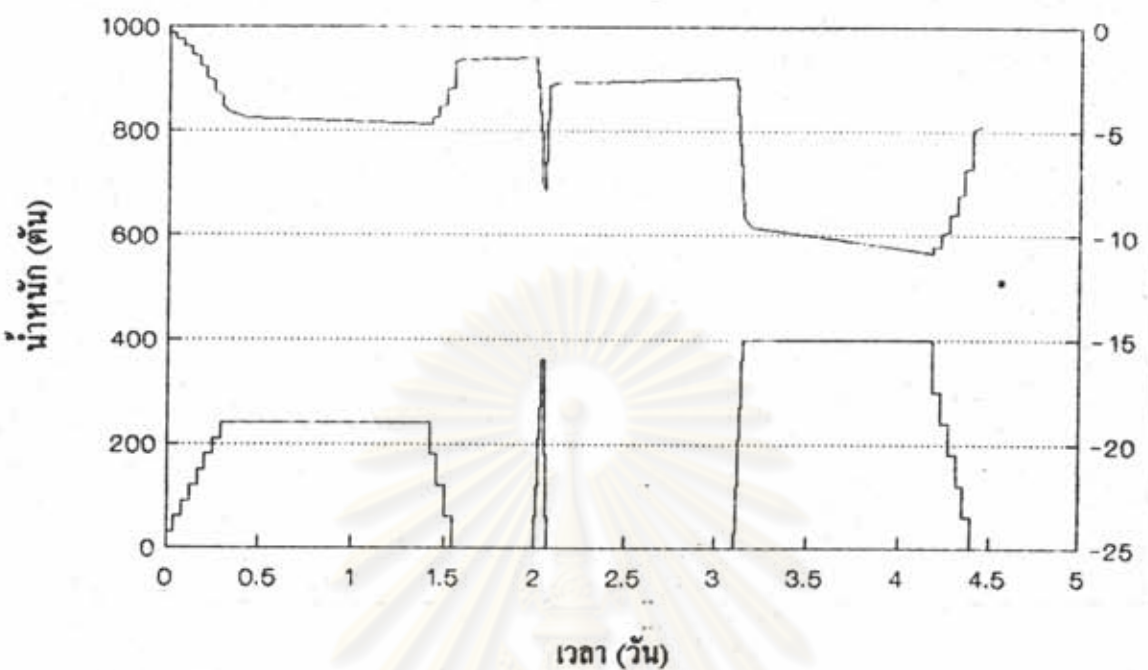
ศูนย์วิทยบริพยากร
จุฬาลงกรณ์มหาวิทยาลัย



ศูนย์วิทยทรัพยากร
จุฬาลงกรณ์มหาวิทยาลัย

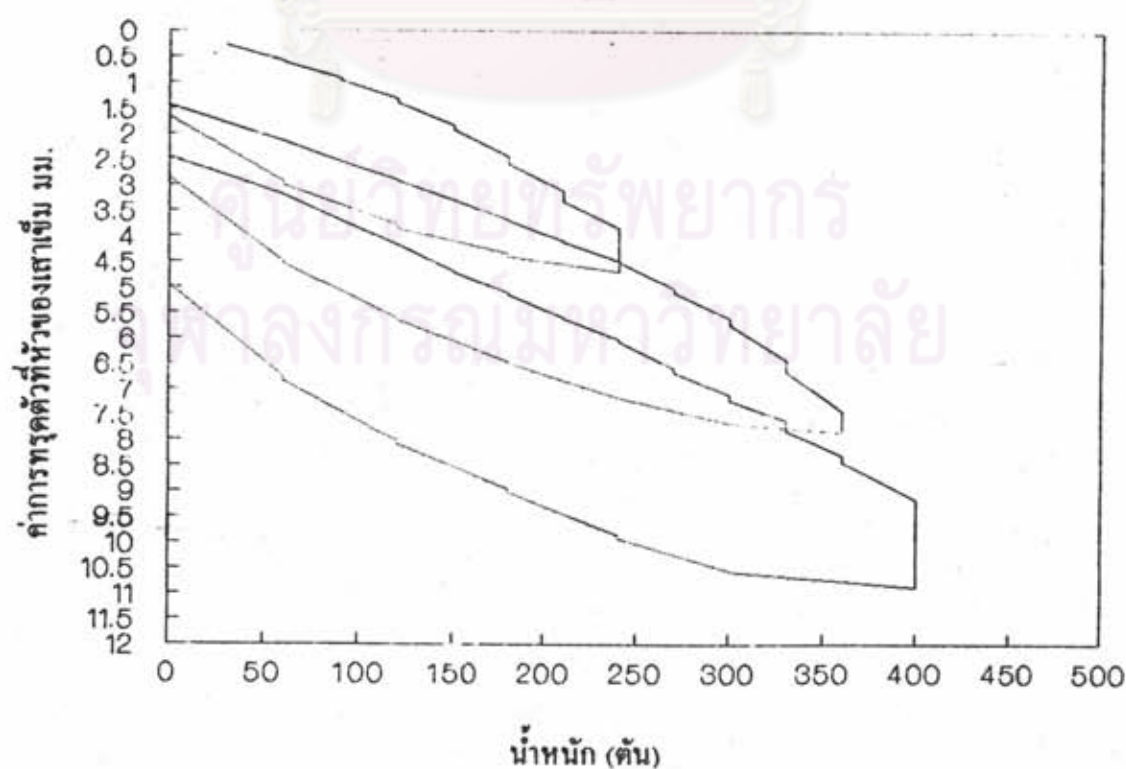
รูปที่ ก 1 แสดงค่า เวลา-น้ำหนัก-การกรุดตัว

เสาเข็ม Franki P-1 โครงการ พยุน คอนโอมิเนียม

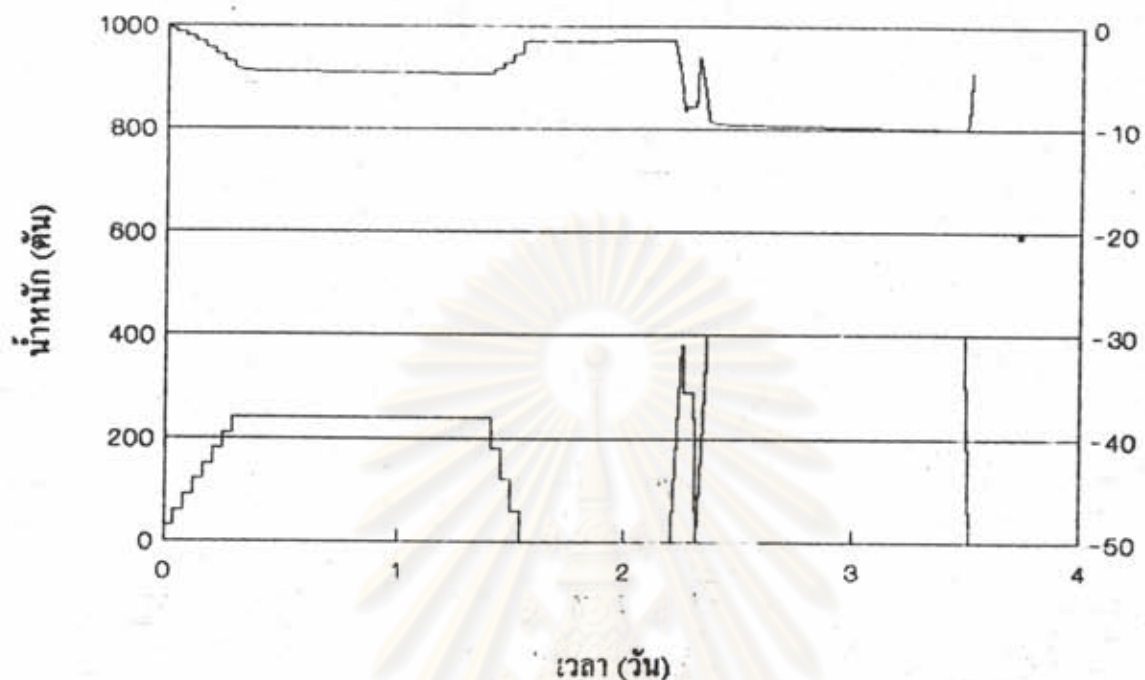


รูปที่ ก 2 รูป Load - Settlement ของเสาเข็ม P-1

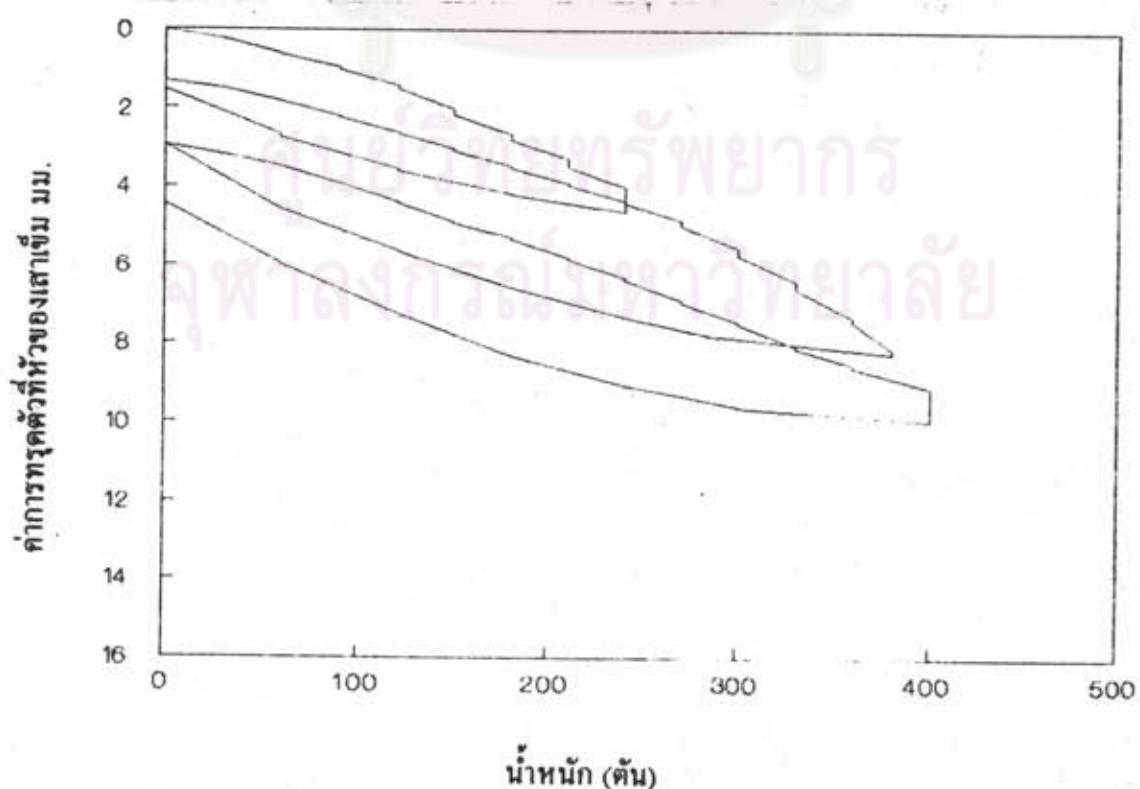
โครงการ พยุน คอนโอมิเนียม



รูปที่ ก 3 แสดงค่า เวลา-น้ำหนัก-การทรุดตัว
เสาเข็ม Franki P-2 โครงการ พยุน คอนโคลมิเนียม

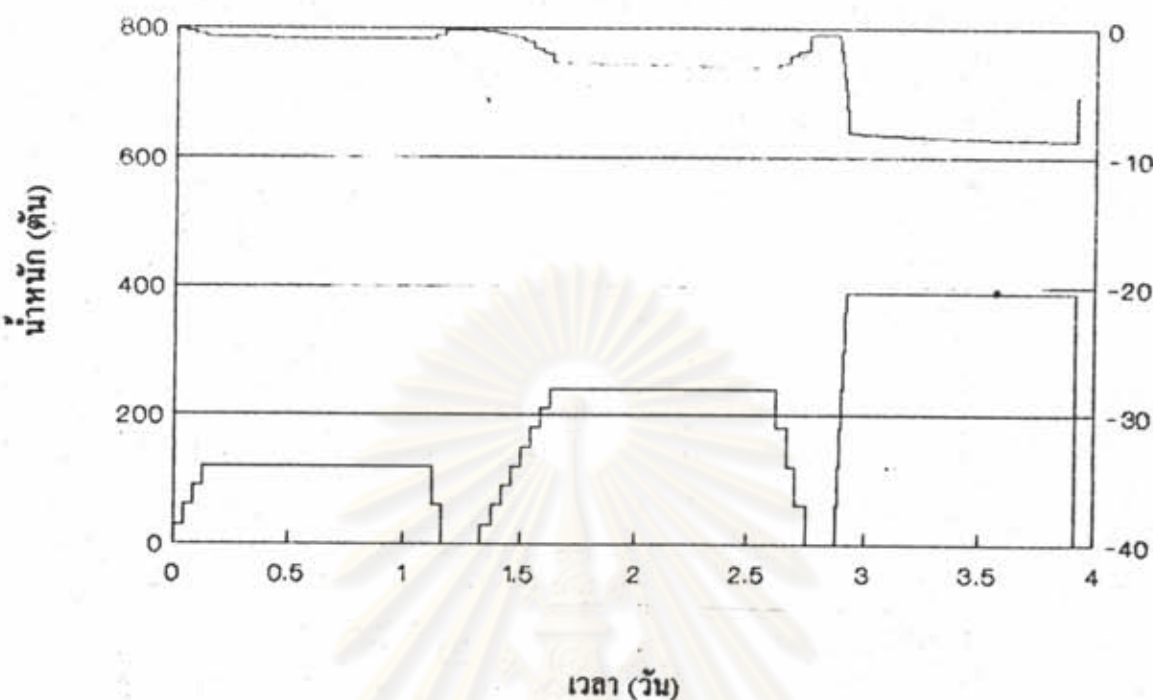


รูปที่ ก 4 รูป Load - Settlement ของเสาเข็ม P-2
โครงการ พยุน คอนโคลมิเนียม



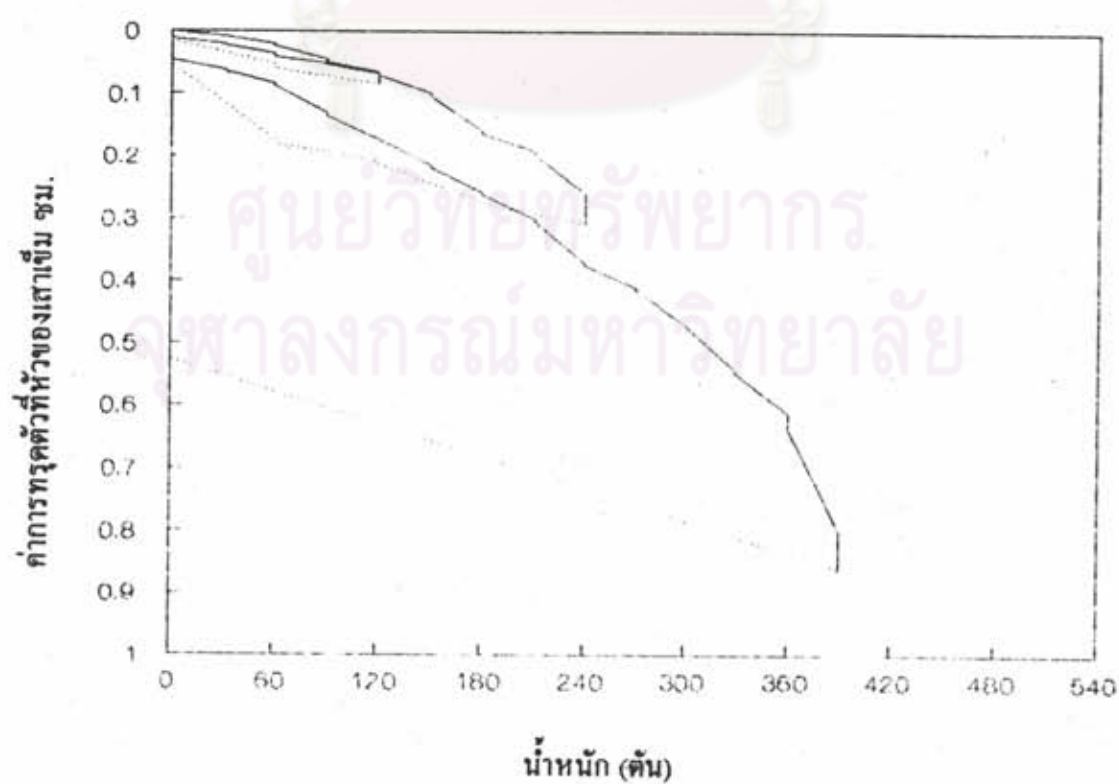
รูปที่ ก 5 แสดงค่า เวลา-น้ำหนัก-การทรุดตัว

เสาเข็ม Franki P-4 โรงไฟฟ้าพลังความร้อนร่วม ระยอง

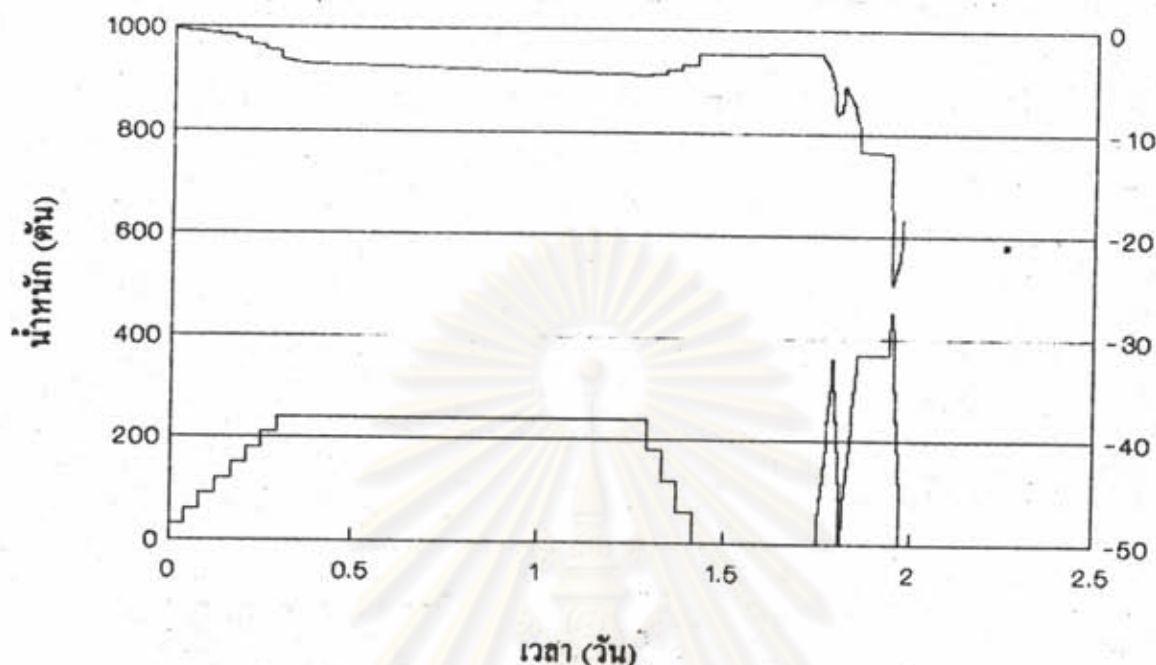


รูปที่ ก 6 รูป Load - Settlement ของเสาเข็ม P-4

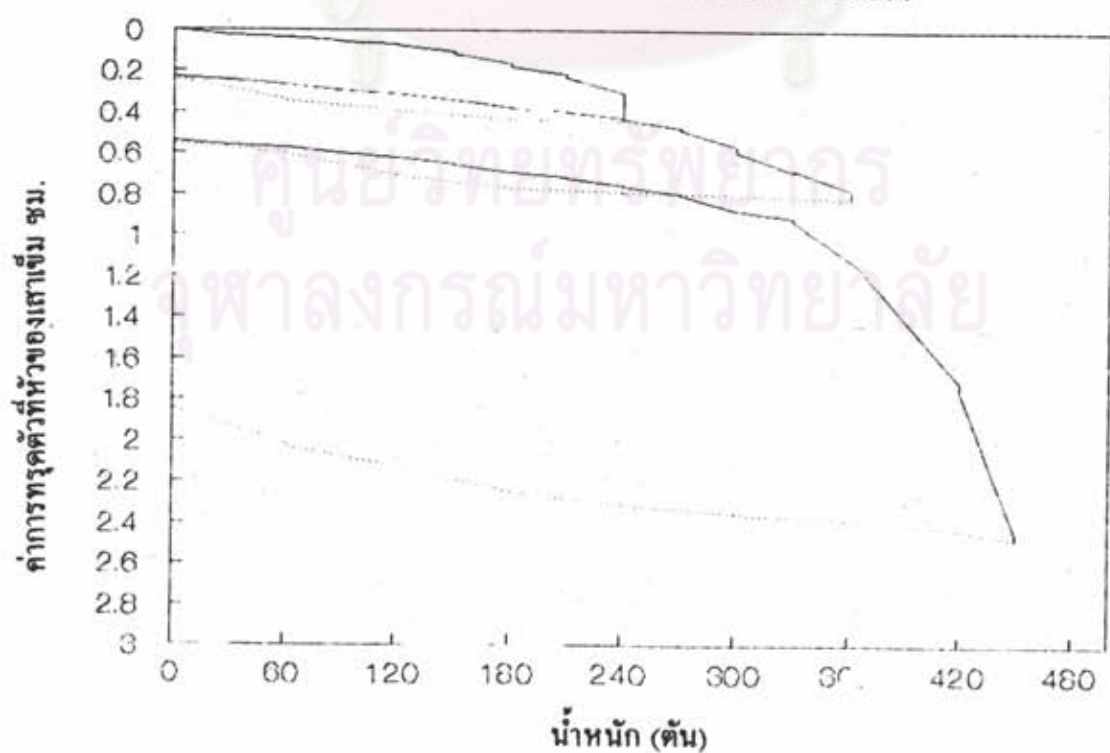
โครงการ โรงไฟฟ้าพลังความร้อนร่วม ระยอง



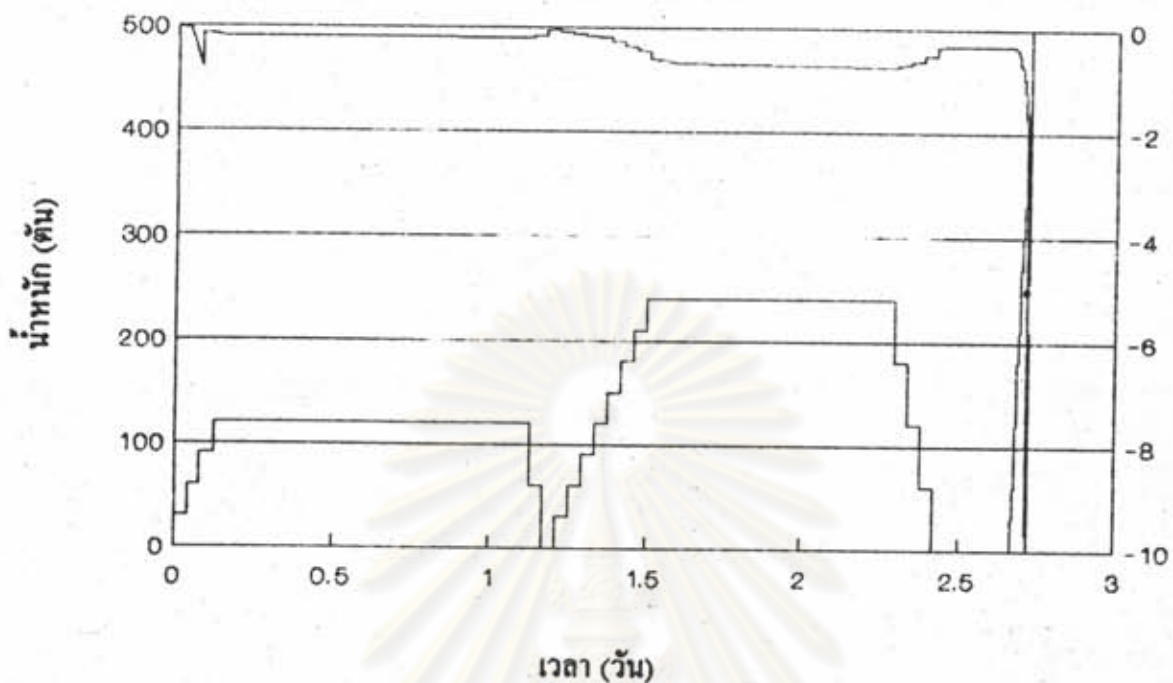
รูปที่ ก 7 'แสดงค่า เวลา-น้ำหนัก-การทรุดตัว
เสาเข็ม Franki P-5 โรงไฟฟ้าพัลส์ความร้อนร่วม ระของ



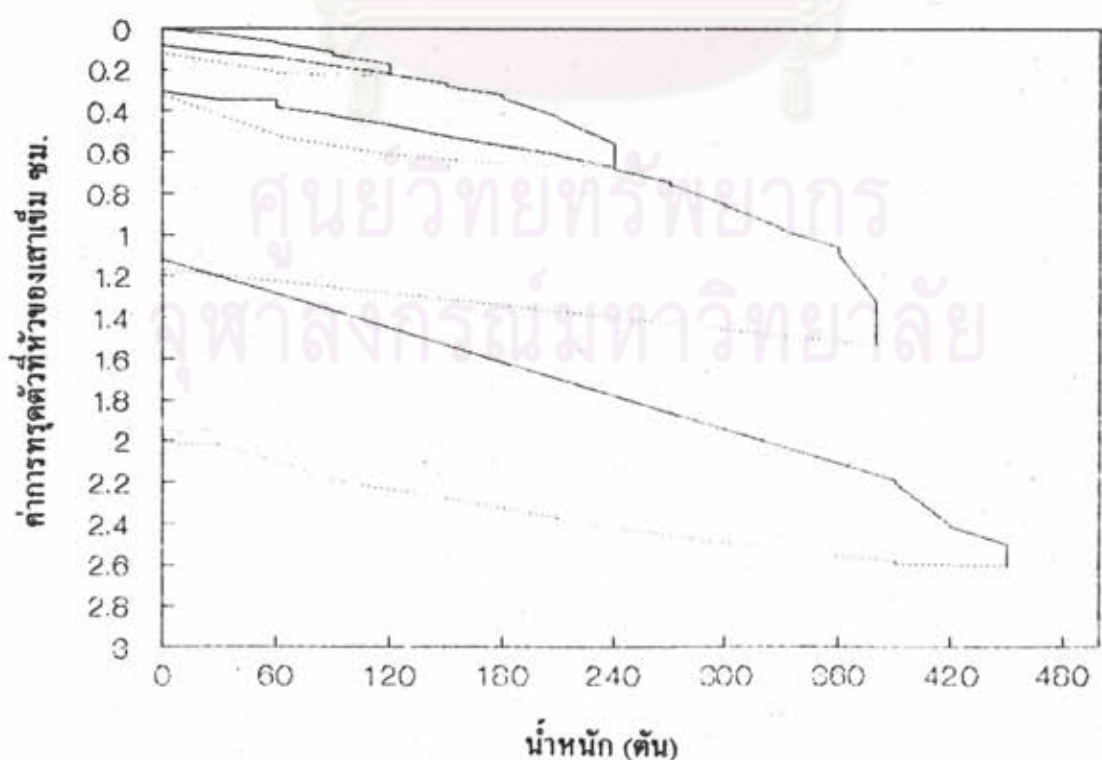
รูปที่ ก 8 รูป Load - Settlement ของเสาเข็ม P-5
โครงการ โรงไฟฟ้าพัลส์ความร้อนร่วม ระของ



รูปที่ ก 9 แสดงค่า เวลา-น้ำหนัก-การทรุดตัว
เสาเข็ม Franki P-6 โครงการ ICI PTA Plant

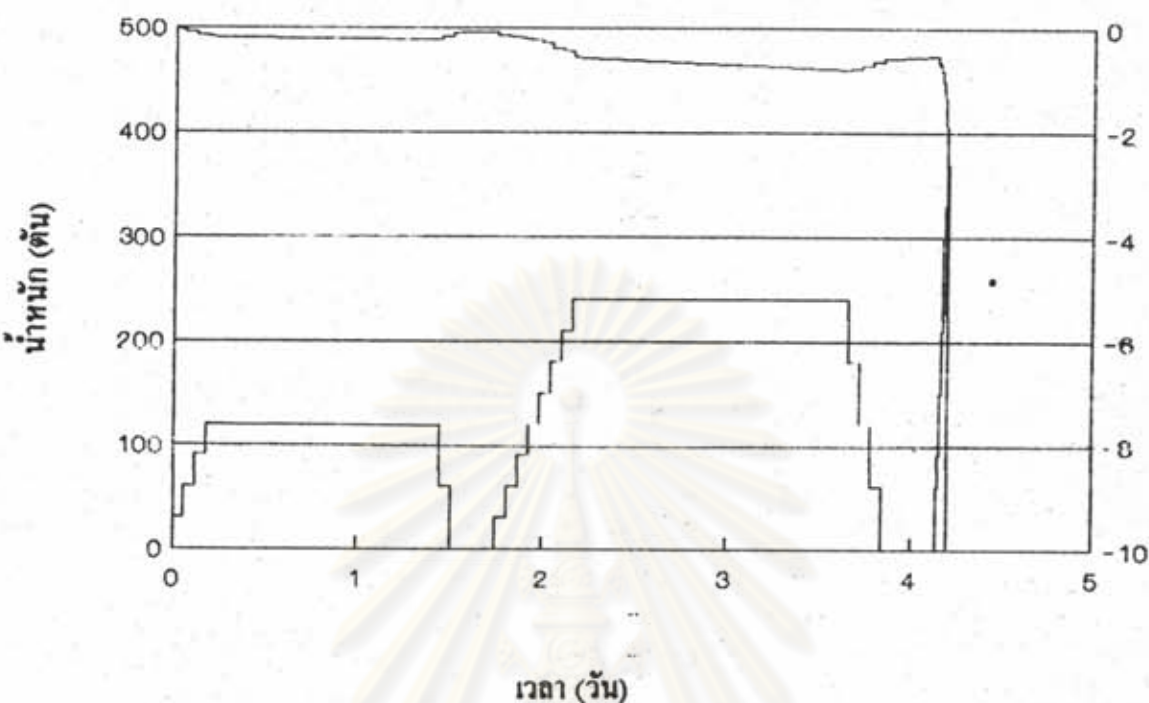


รูปที่ ก 10 รูป Load - Settlement ของเสาเข็ม P-6
โครงการ ICI PTA Plant



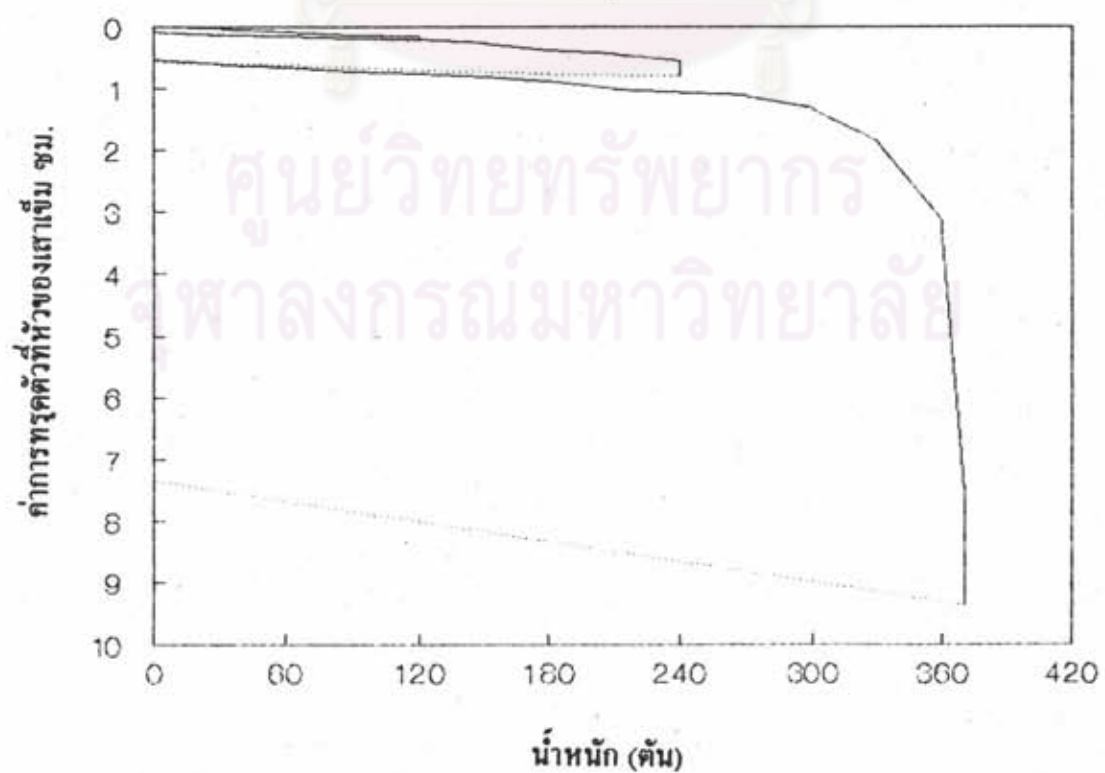
รูปที่ ก 11 แสดงค่า เวลา-น้ำหนัก-การทรุดตัว

เสาเข็ม Franki P-7 โครงการ ICI PTA Plant



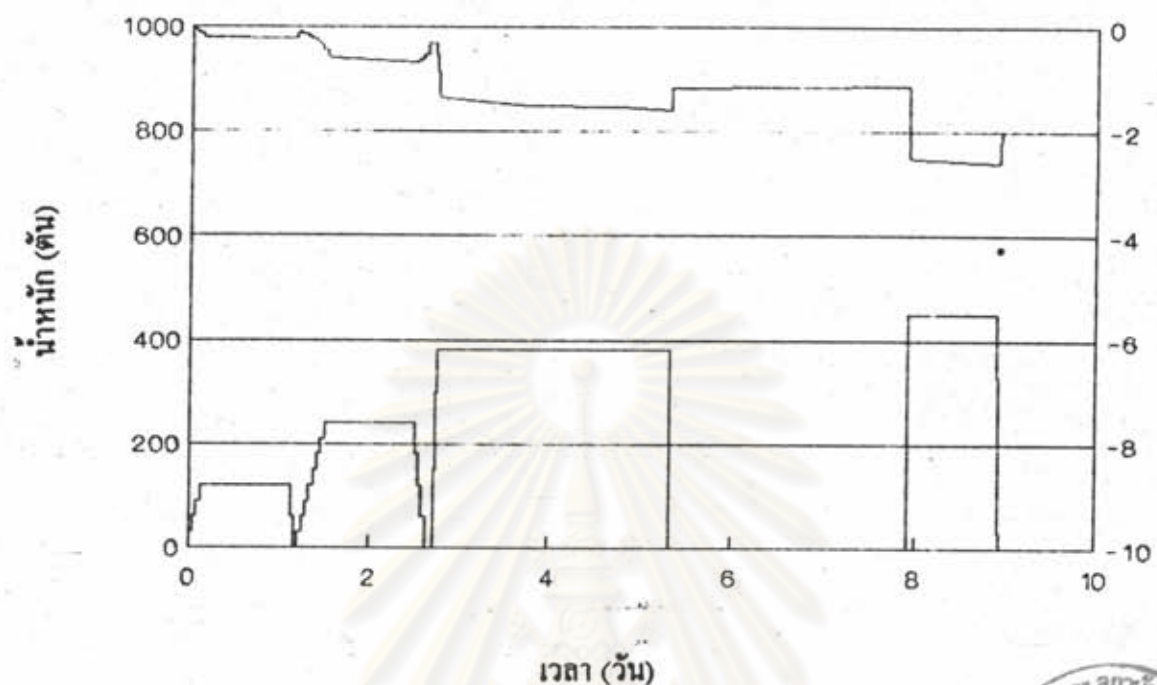
รูปที่ ก 12 รูป Load - Settlement ของเสาเข็ม P-7

โครงการ ICI PTA Plant



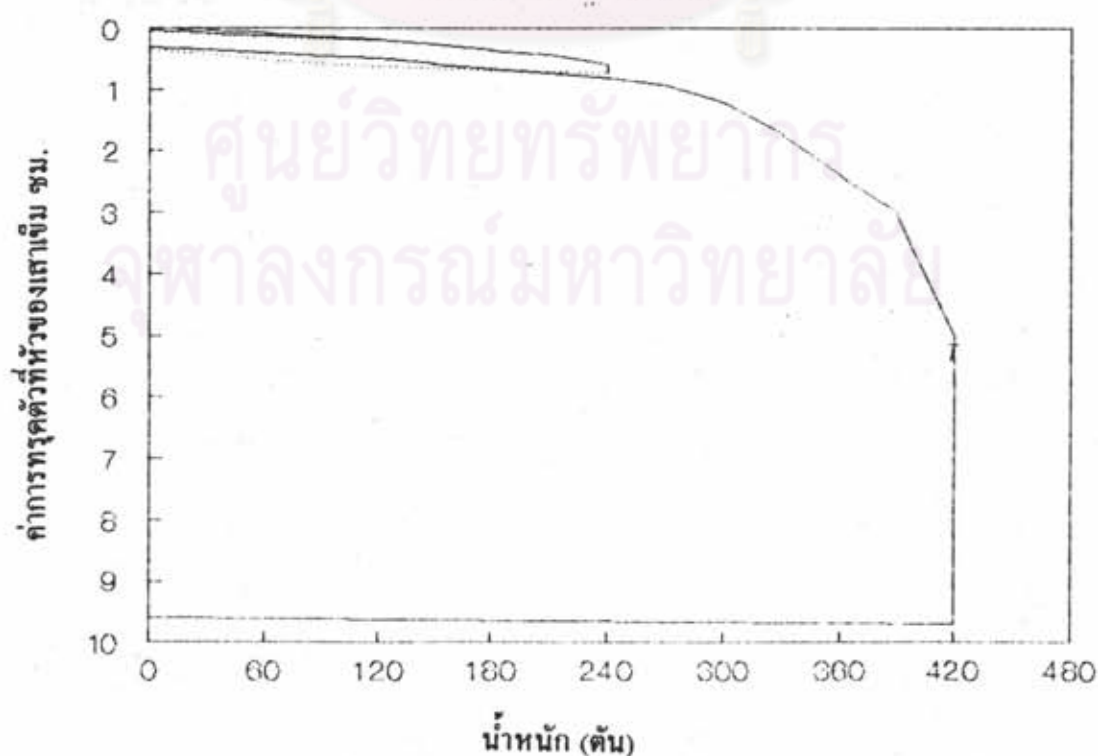
รูปที่ ก 13 แสดงค่า เวลา-น้ำหนัก-การทรุดตัว

เสาเข็ม Franki P-8 โครงการ ICI PTA Plant

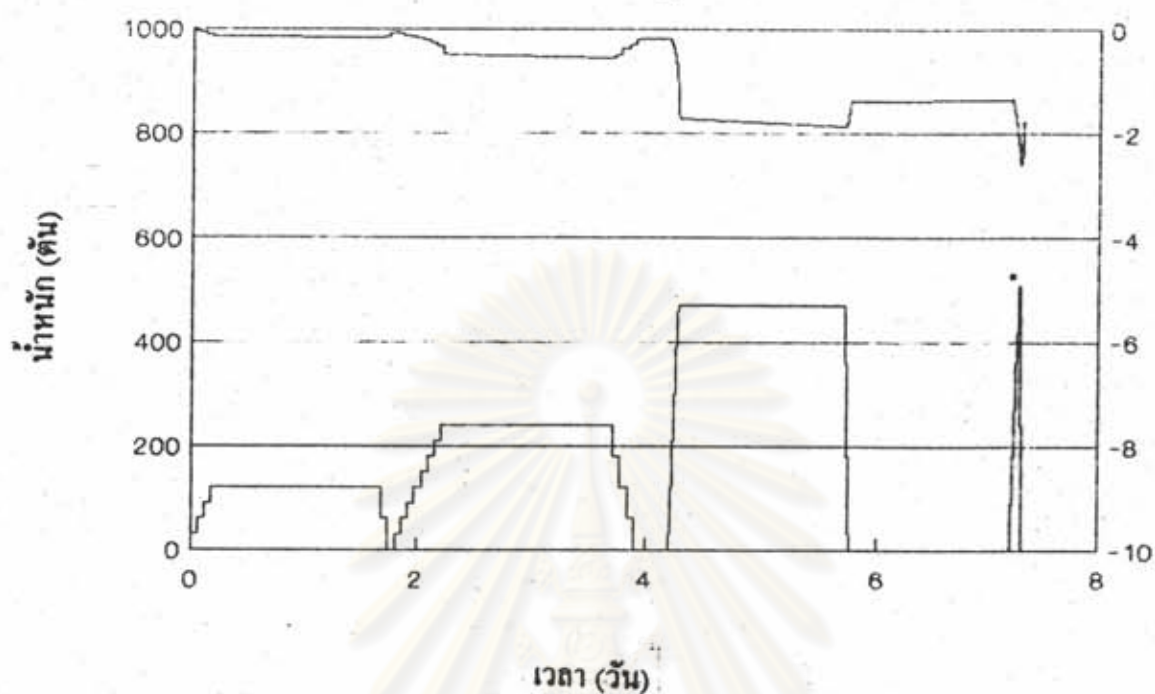


รูปที่ ก 14 รูป Load - Settlement ของเสาเข็ม P-8

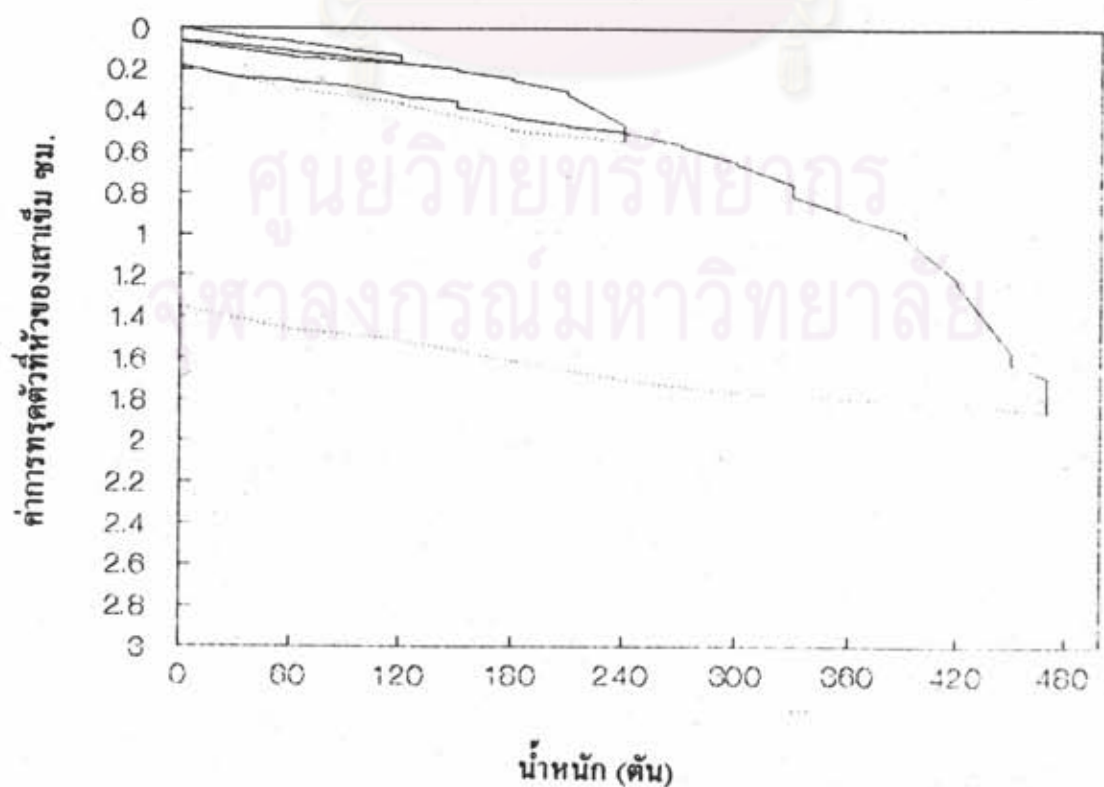
โครงการ ICI PTA Plant



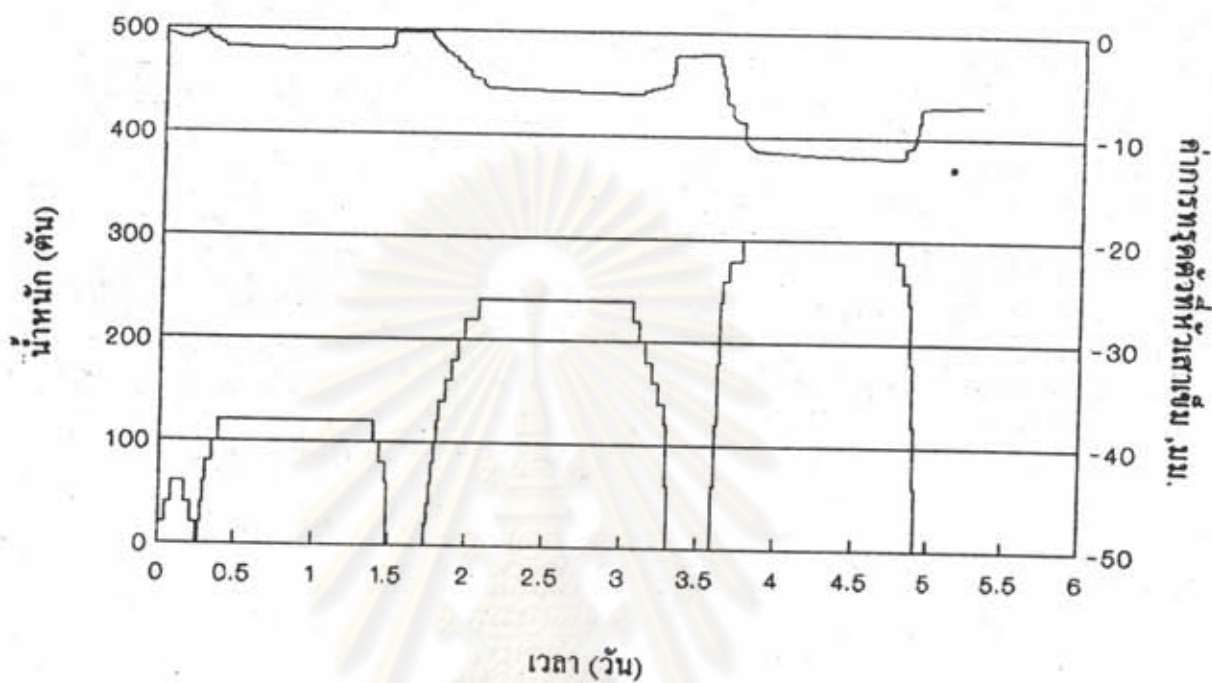
รูปที่ ก 15 แสดงค่า เวลา-น้ำหนัก-การทรุดตัว
เสาเข็ม Franki P-9 โครงการ ICI PTA Plant



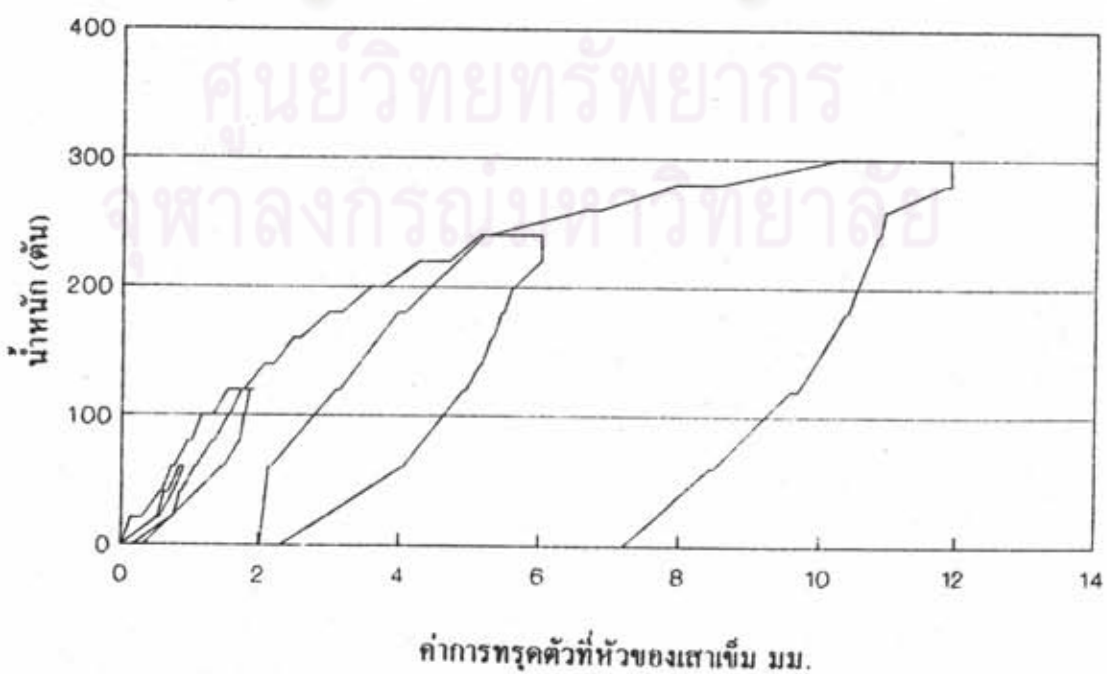
รูปที่ ก 16 รูป Load - Settlement ของเสาเข็ม P-9
โครงการ ICI PTA Plant



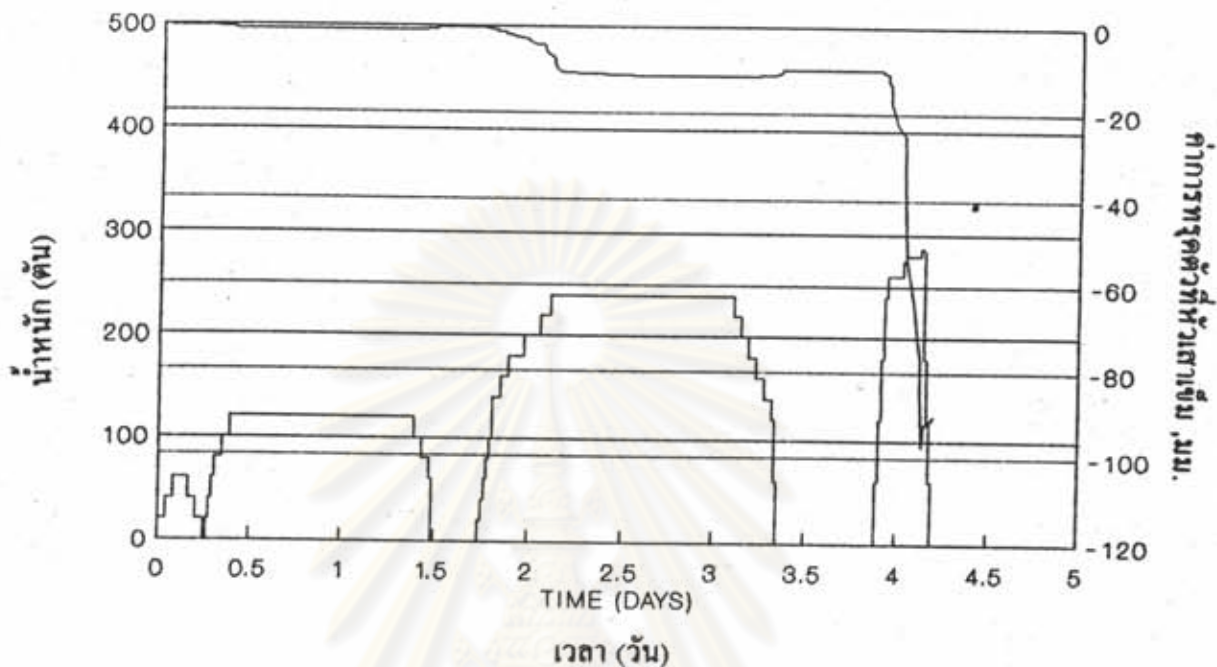
รูปที่ ก 17 แสดงค่า เวลา-น้ำหนัก-การทรุดตัว
เสาเข็มเจาะ T-1 โครงการ โรงไฟฟ้าพลังความร้อนร่วม ระยอง



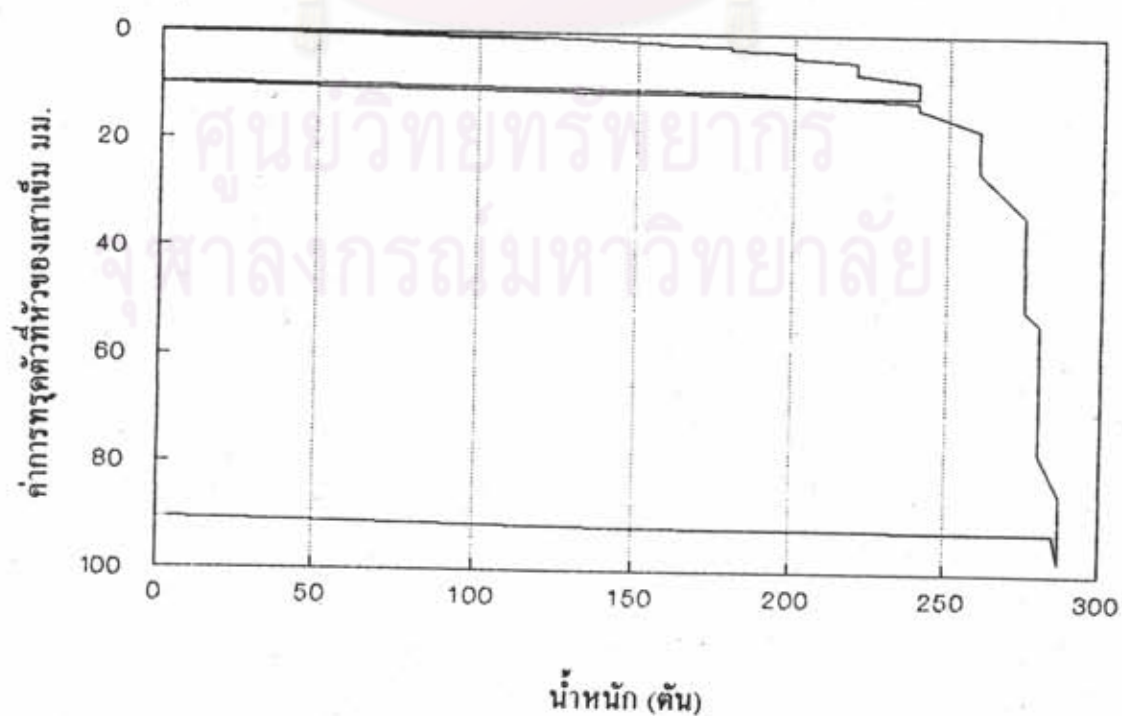
รูปที่ ก 18 รูป Load - Settlement ของเสาเข็ม T-1
โครงการ โรงไฟฟ้าพลังความร้อนร่วม ระยอง



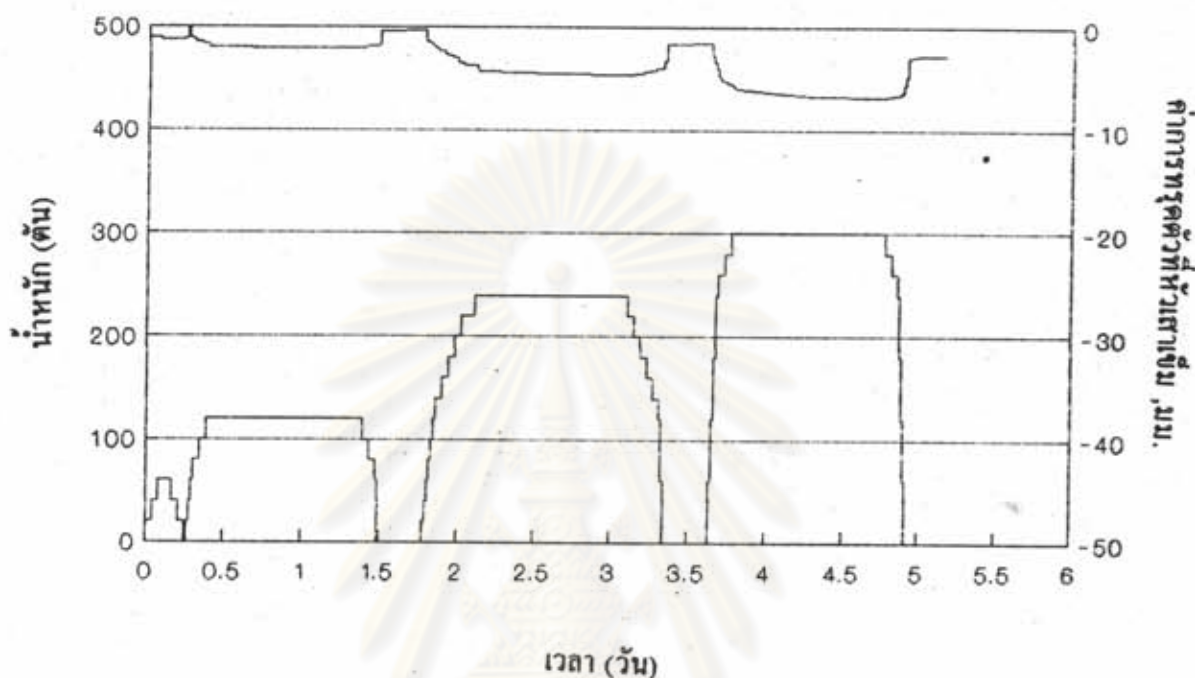
รูปที่ ก 19 แสดงค่า เวลา-น้ำหนัก-การทรุดตัว
เสาเข็มเจาะ T-2 โครงการ โรงไฟฟ้าพลังความร้อนร่วม ราชบุรี



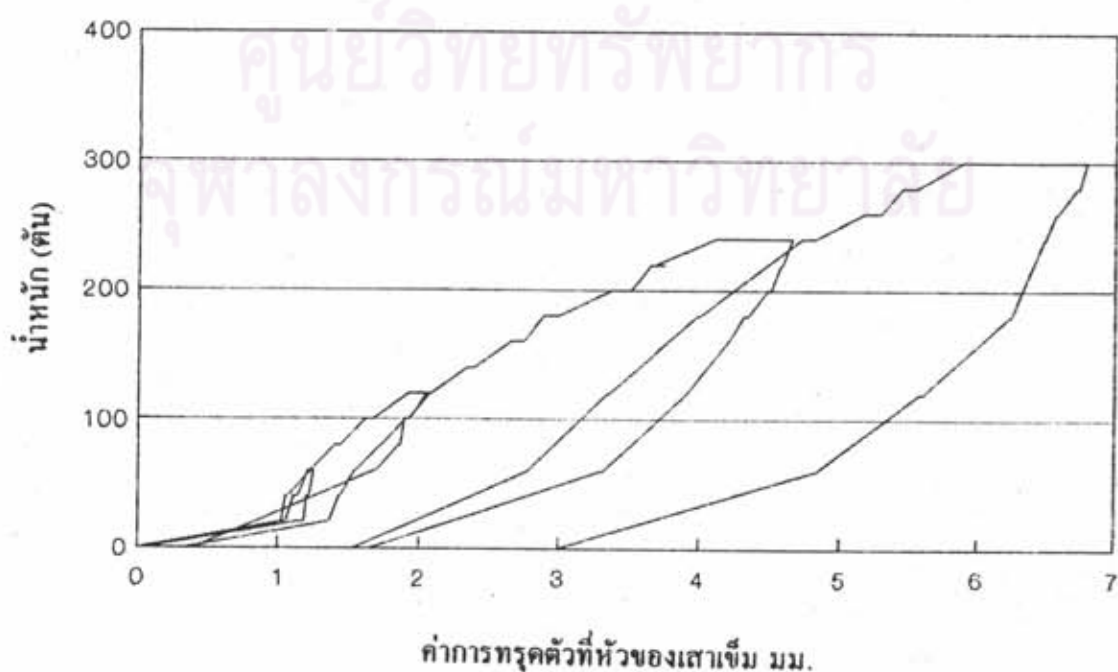
รูปที่ ก 20 รูป Load - Settlement ของเสาเข็ม T-2
โครงการ โรงไฟฟ้าพลังความร้อนร่วม ราชบุรี



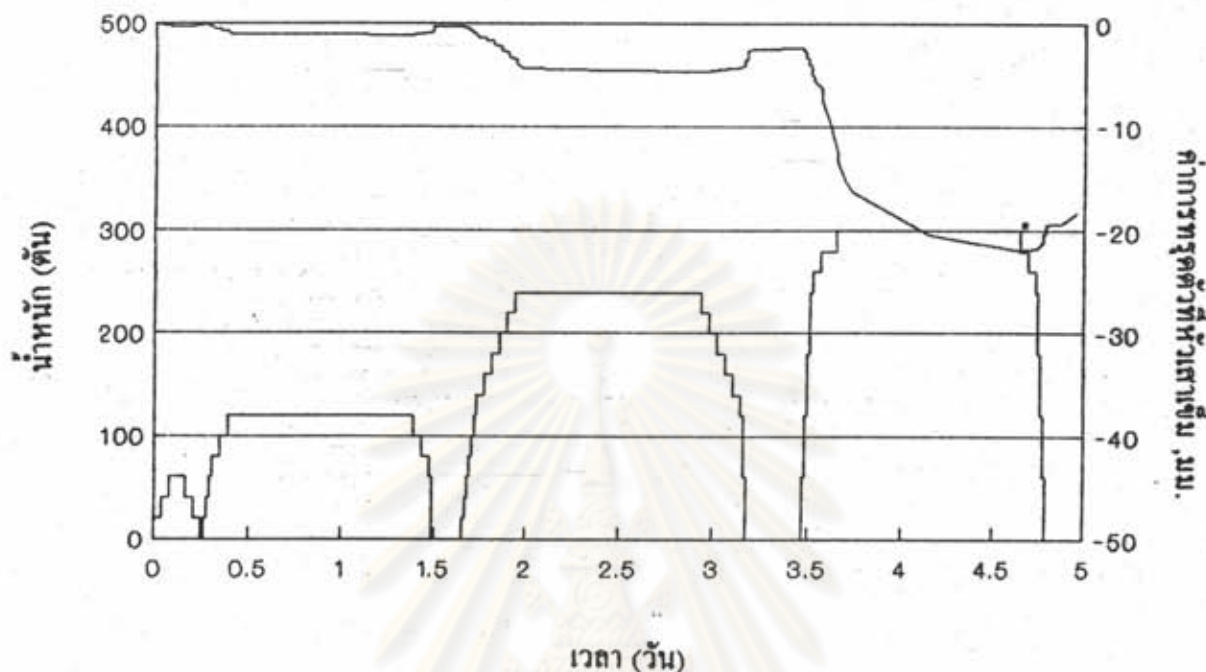
รูปที่ ก 21 แสดงค่า เวลา-น้ำหนัก-การทรุดตัว
เสาเข็มเจาะ T-3 โครงการ โรงไฟฟ้าพลังงานความร้อนร่วม ระยอง



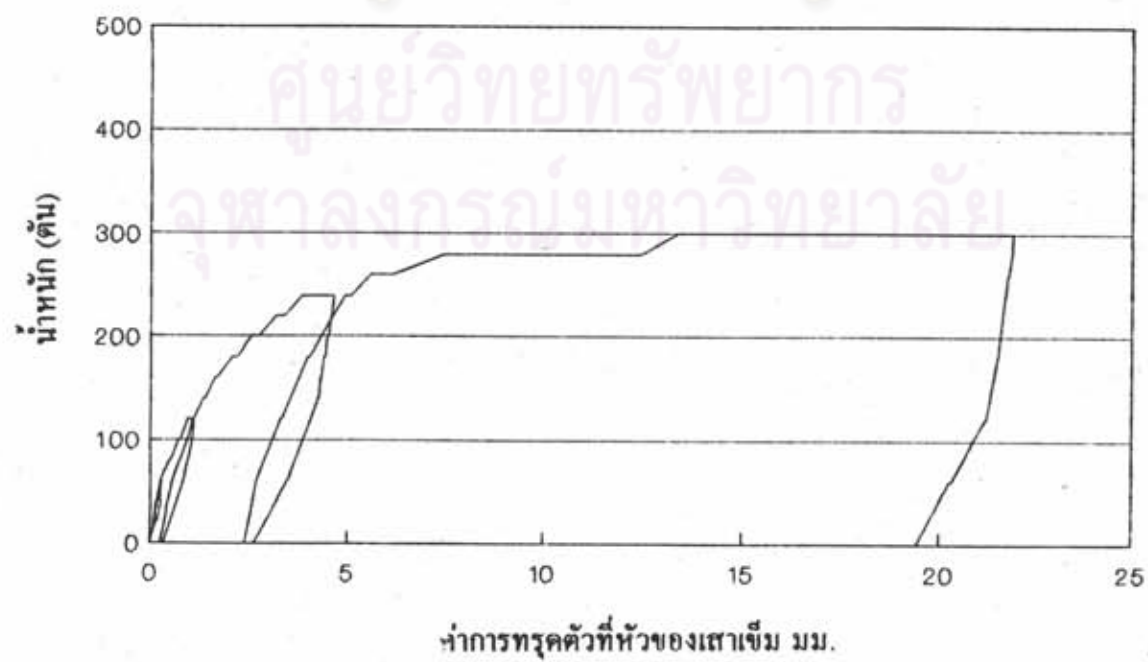
รูปที่ ก 22 รูป Load - Settlement ของเสาเข็ม T-3
โครงการ โรงไฟฟ้าพลังความร้อนร่วม ระยอง



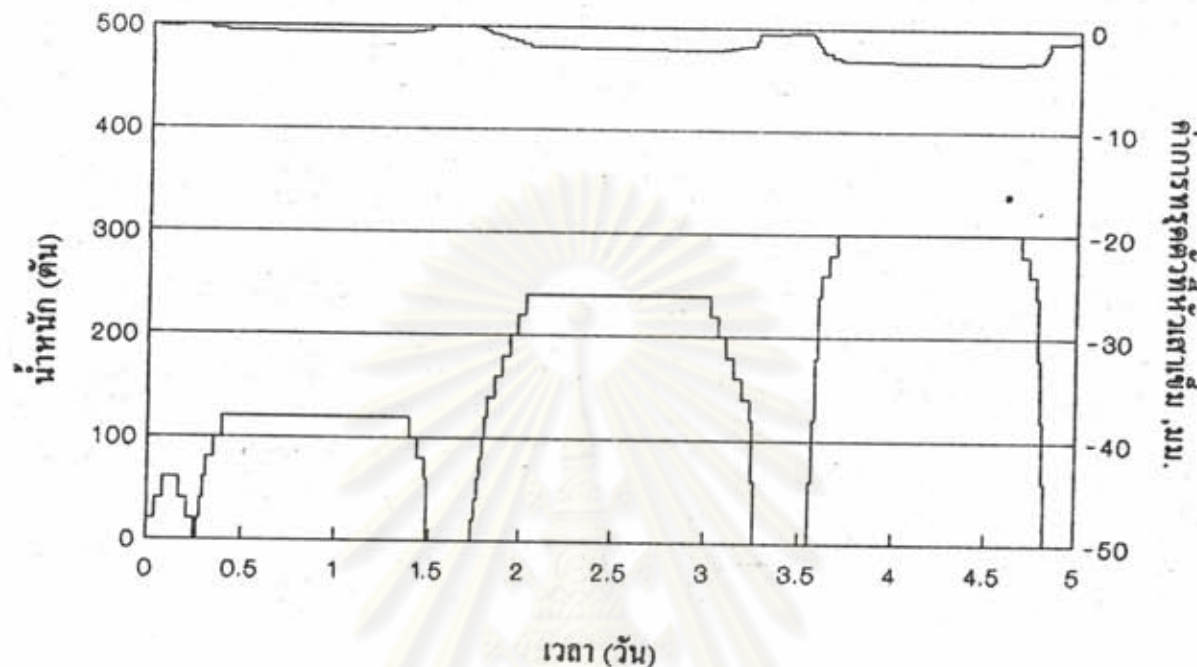
รูปที่ ก 23 ขณะคงค่า เวลา-น้ำหนัก-การทรุดตัว
เสาเข็มเจาะ T-4 โครงการ โรงไฟฟ้าพลังงานความร้อนร่วม ระยอง



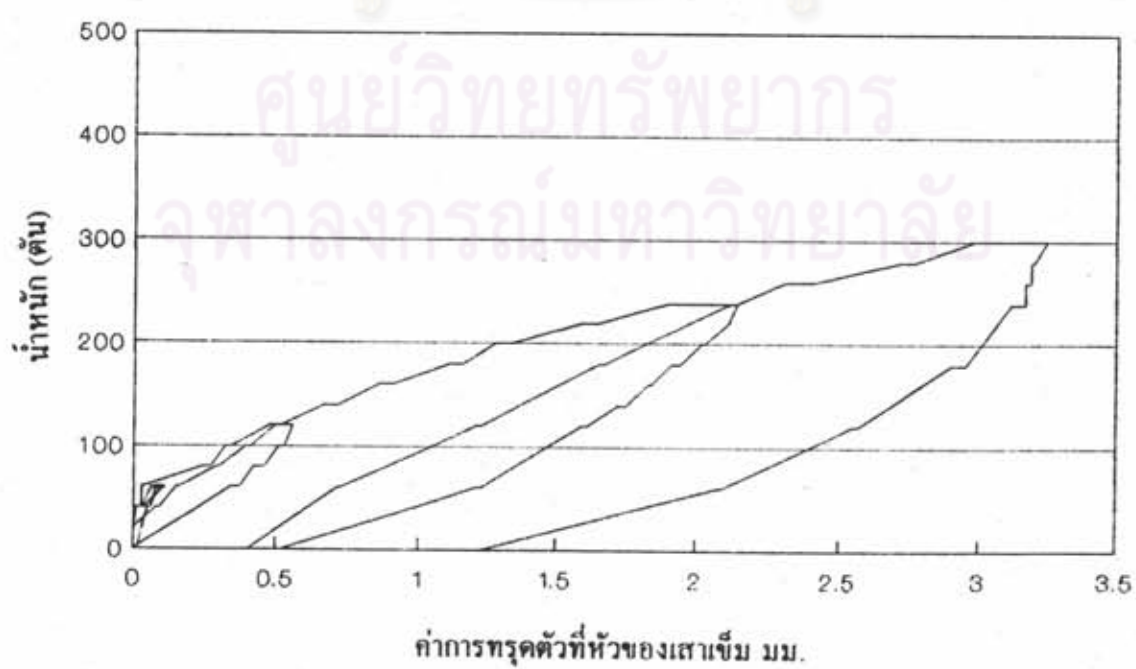
รูปที่ ก 24 รูป Load - Settlement ของเสาเข็ม T-4
โครงการ โรงไฟฟ้าพลังความร้อนร่วม ระยอง



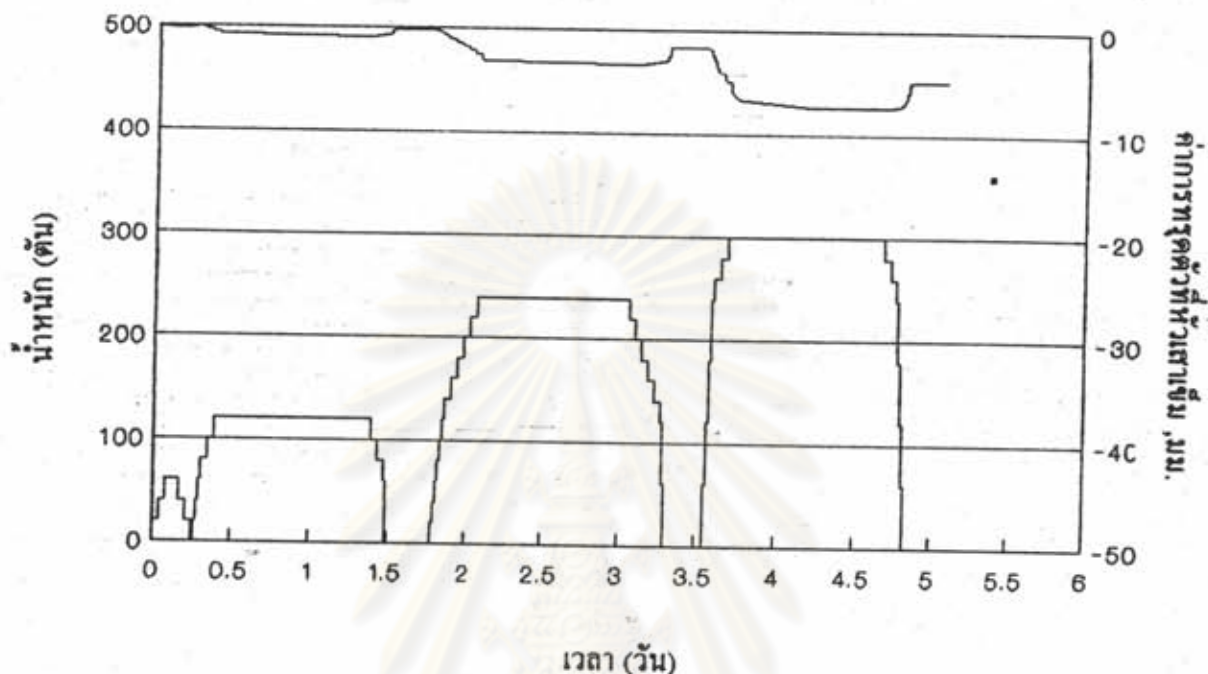
รูปที่ ก 25 เมตรคงค่า เวลา-น้ำหนัก-การทรุดตัว
เสาเข็มเจาะ T-5 โครงการ โรงไฟฟ้าพลังงานความร้อนร่วม ระบบ



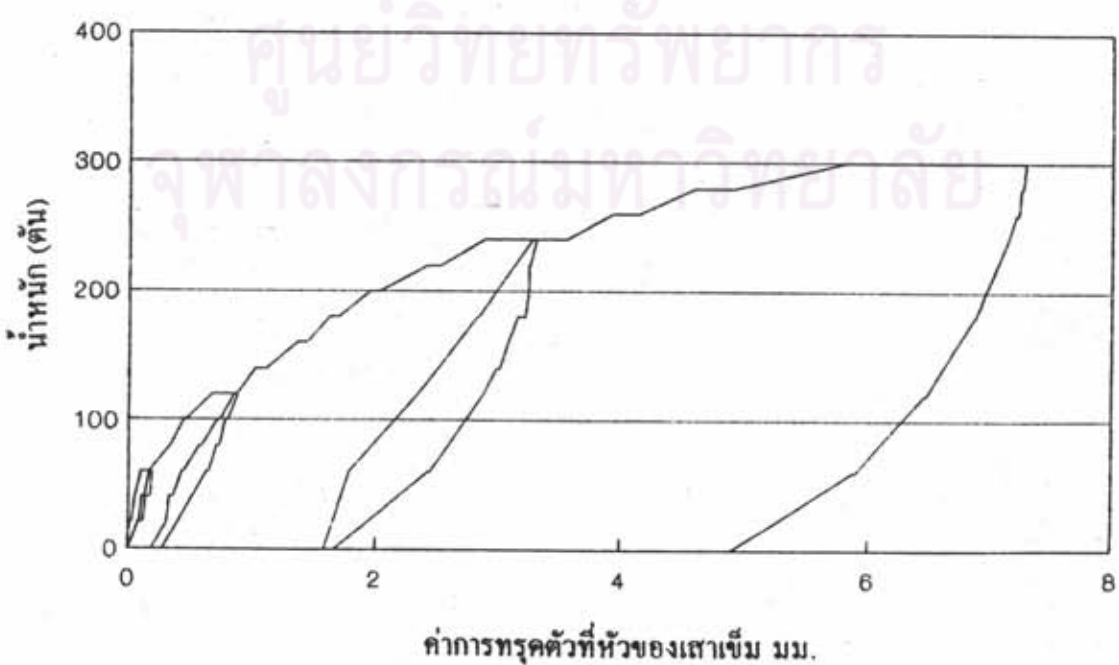
รูปที่ ก 26 รูป Load - Settlement ของเสาเข็ม T-5
โครงการ โรงไฟฟ้าพลังงานความร้อนร่วม ระบบ



รูปที่ ก 27 แสดงค่า เวลา-น้ำหนัก-การทรุดตัว
เสาเข็มเจาะ T-6 โครงการ โรงไฟฟ้าพลังงานความร้อนร่วม ระยะ



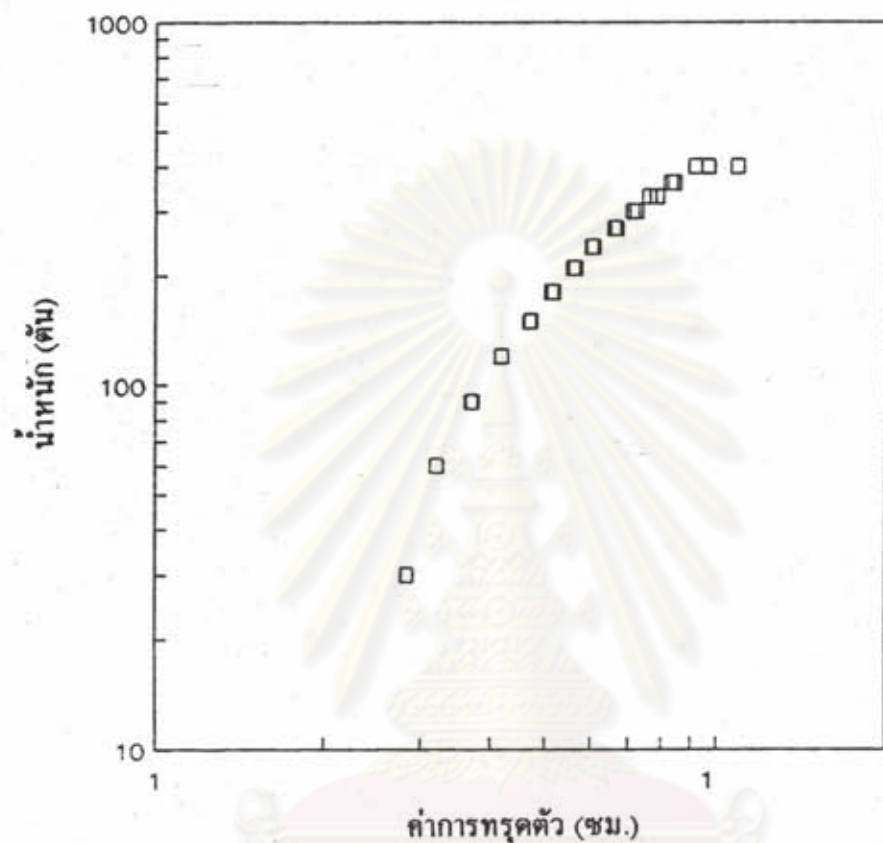
รูปที่ ก 28 รูป Load - Settlement ของเสาเข็ม T-6
โครงการ โรงไฟฟ้าพลังความร้อนร่วม ระยะ





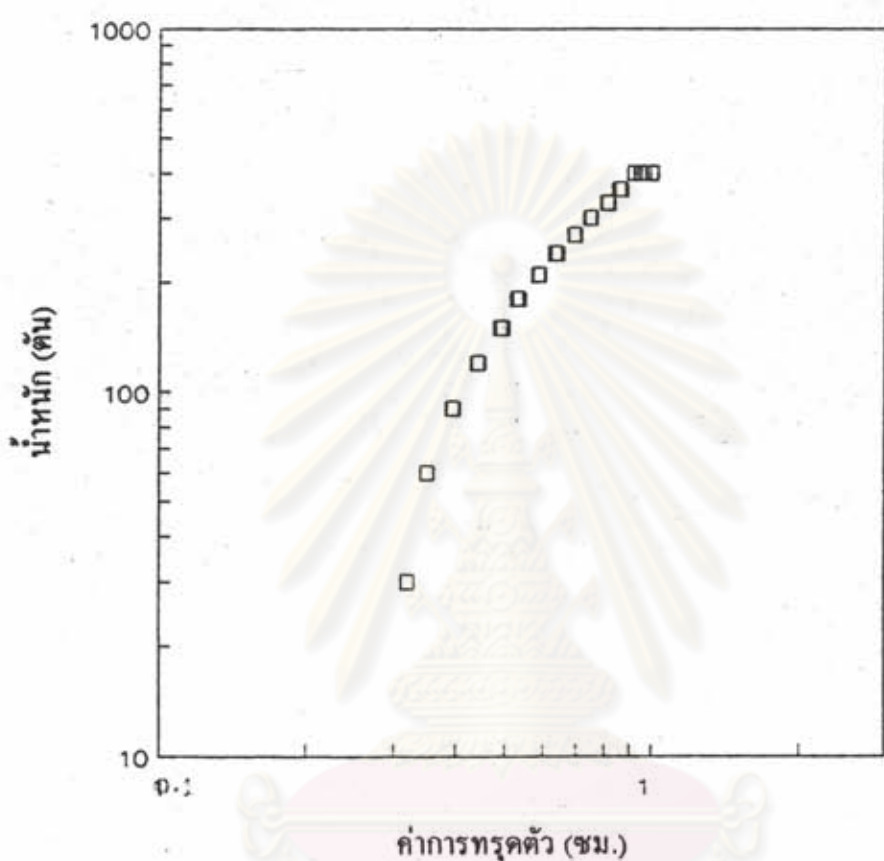
ศูนย์วิทยทรัพยากร รุพาลงกรณ์มหาวิทยาลัย

รูปที่ ๑ แสดงการหาค่า俓หนักบรรทุกที่จุดวิกฤต โดยวิธีของ De Beer (1967)
เส้นเข้ม Franki P-1 โครงการ พยุน ก่อนโควิดเนี้ยม



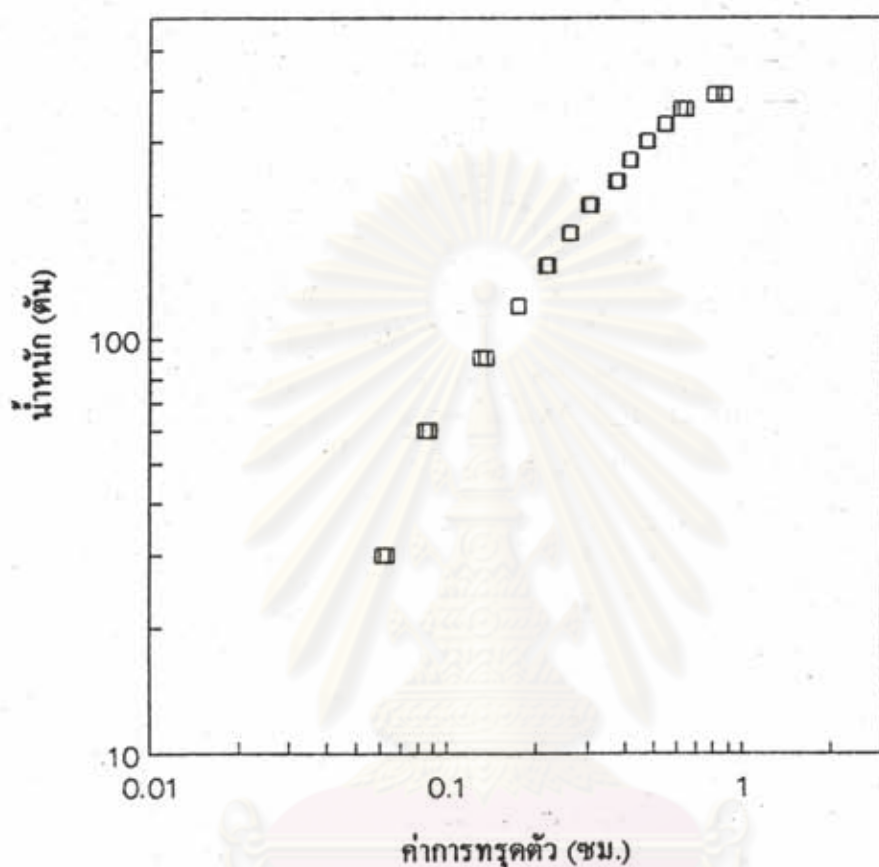
ศูนย์วิทยทรัพยากร
จุฬาลงกรณ์มหาวิทยาลัย

รูปที่ ข 2 แสดงการหาค่าผ้าหนังบรรทุกที่จุดวินดิจ โดยวิธีของ De Beer (1967)
เส้นเข้ม Franki P-2 โครงการ พยุน ตอนโควมเนียม



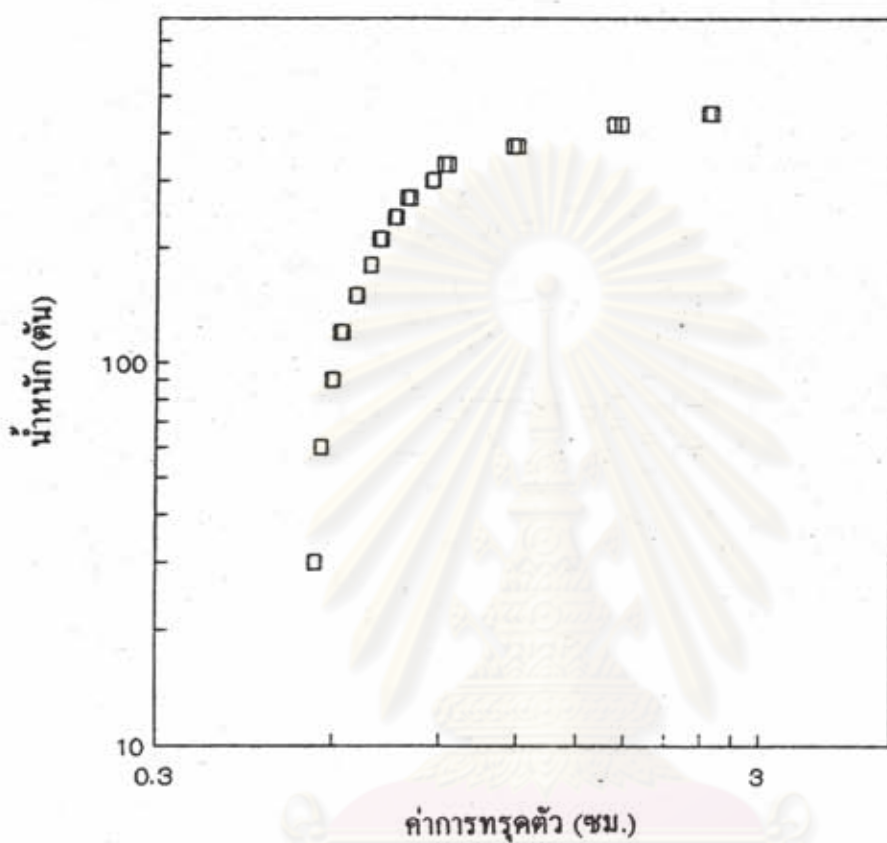
ศูนย์วิทยบริพยากร
จุฬาลงกรณ์มหาวิทยาลัย

รูปที่ ๔ แสดงการหาค่า้น้ำหนักบรรทุกที่จุดวินดิ โดยวิธีของ De Beer (1967)
สำหรับ Franki P-4 โครงการ โรงไฟฟ้าพลังงานความร้อนร่วม ระยะ



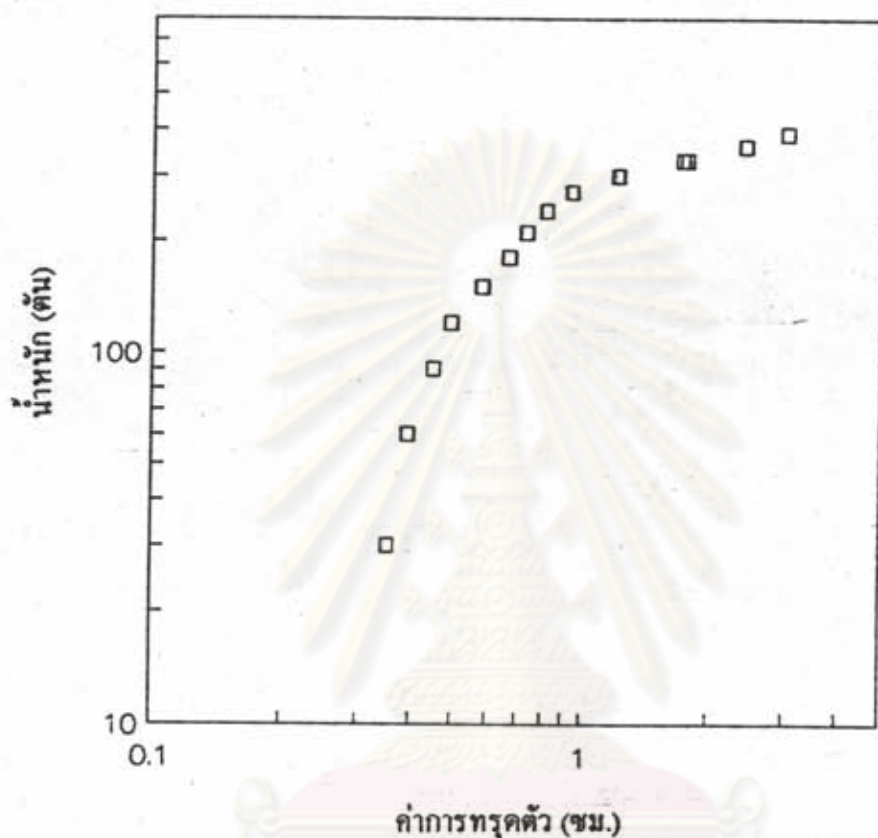
ศูนย์วิทยบริพยากร
จุฬาลงกรณ์มหาวิทยาลัย

รูปที่ ๔ แสดงการหาค่า n' หนักบรรทุกที่จุคิบติ โดยวิธีของ De Beer (1967)
สำหรับ Franki P-5 โครงการ โรงไฟฟ้าพลังงานความร้อนร่วม ระยะ



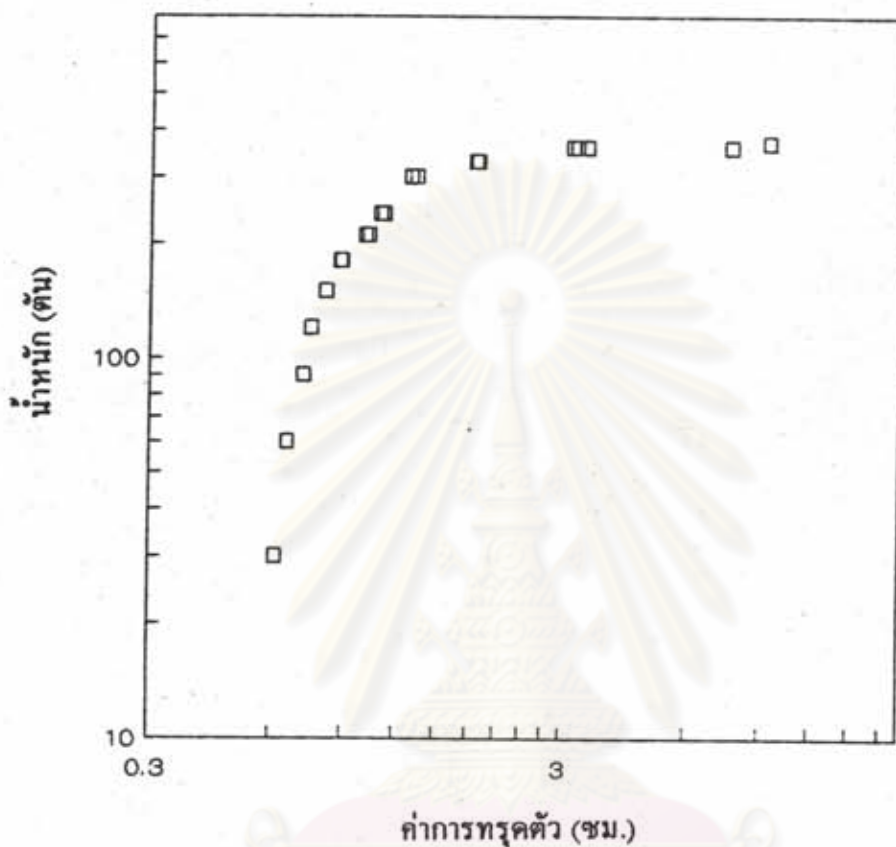
ศูนย์วิทยบริการ
จุฬาลงกรณ์มหาวิทยาลัย

รูปที่ ๕ แสดงการหาค่า้น้ำหนักบรรทุกที่จุกวันต์ โดยวิธีของ De Beer (1967)
เสาเข็ม Franki P-6 โครงการ ICI PTA Plant



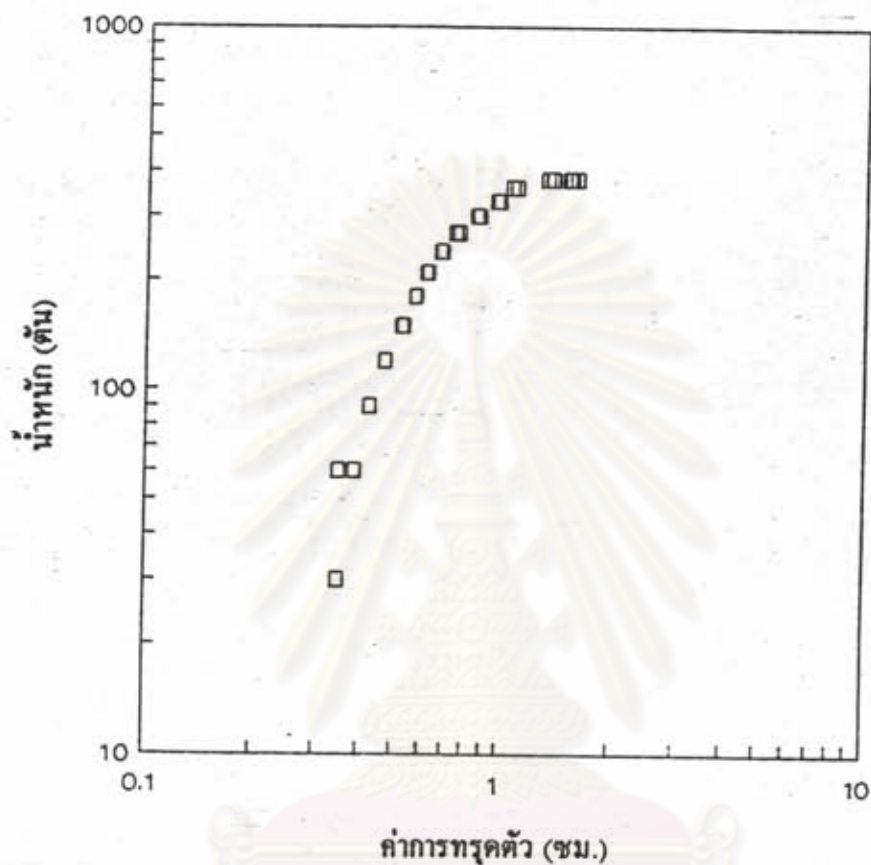
ศูนย์วิทยบริพยากร
จุฬาลงกรณ์มหาวิทยาลัย

รูปที่ ๖ แสดงการหาค่า้น้ำหนักบรรทุกที่จุดวินดิ โดยวิธีของ De Beer (1967)
สถานี Franki P-7 โครงการ ICI PTA Plant



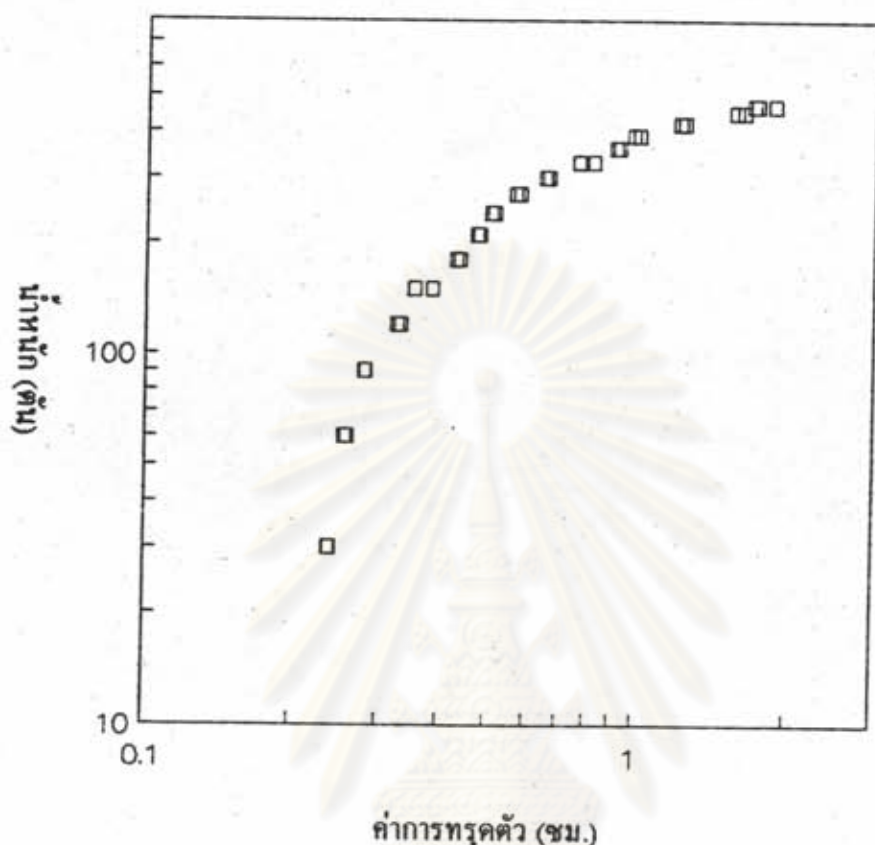
ศูนย์วิทยทรัพยากร
จุฬาลงกรณ์มหาวิทยาลัย

รูปที่ ๗ แสดงการหาค่า n หน้าងบาร์ทุกที่จุดวินติ โดยวิธีของ De Beer (1967)
เสาเข็ม Franki P-8 โครงการ ICI PTA Plant



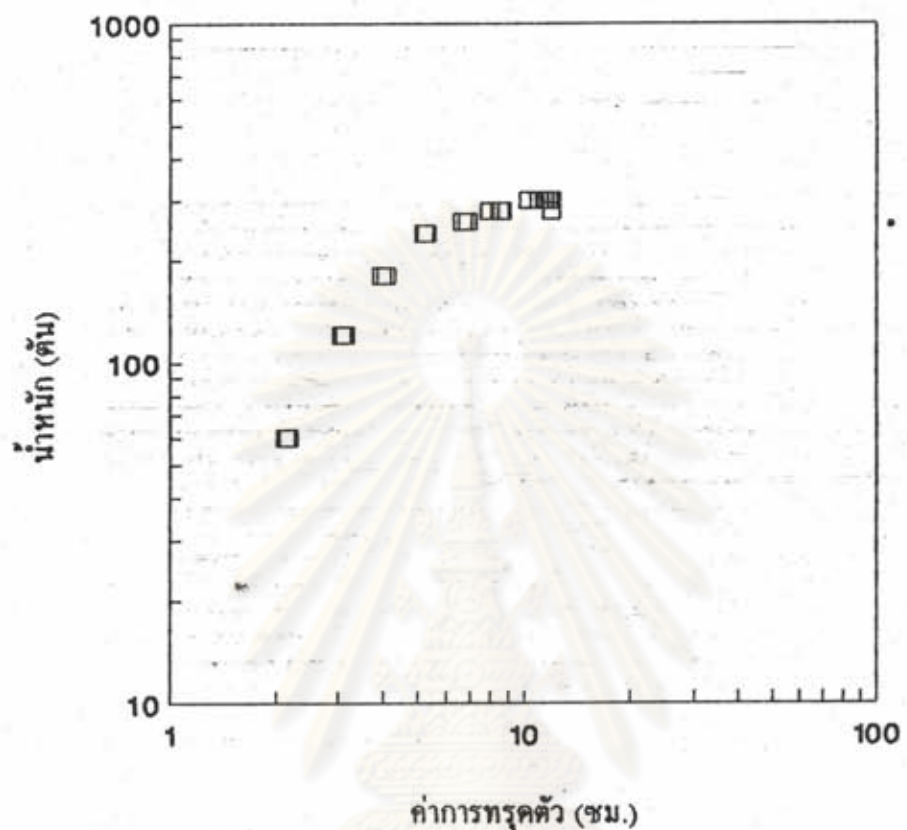
ศูนย์วิทยทรัพยากร
จุฬาลงกรณ์มหาวิทยาลัย

รูปที่ ๔ แสดงการหาค่า��หนักบรรทุกที่จุคิบติ โดยวิธีของ De Beer (1967)
เสาเข็ม Franki P-9 โครงการ ICI PTA Plant



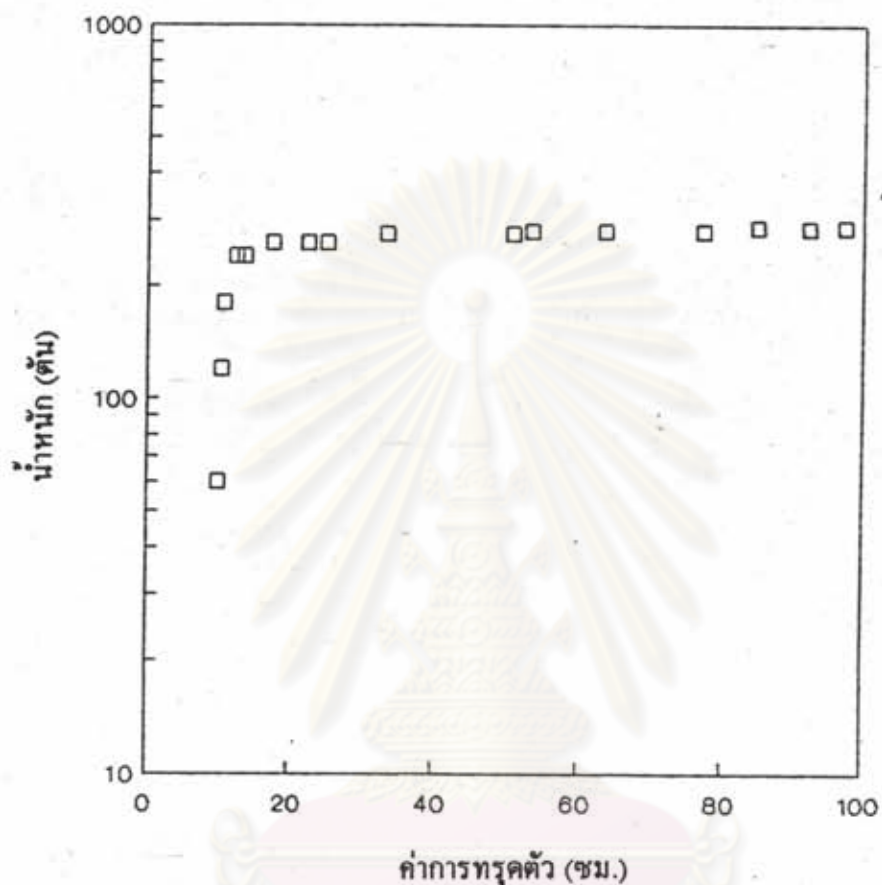
ศูนย์วิทยทรัพยากร
จุฬาลงกรณ์มหาวิทยาลัย

รูปที่ ข ๙ แสดงการหาค่า้น้ำหนักบรรทุกที่จุดวินด์ โดยวิธีของ De Beer (1967)
เส้นเข้มเจาะ T-1 โรงไฟฟ้าพลังงานความร้อนร่วม ระยอง



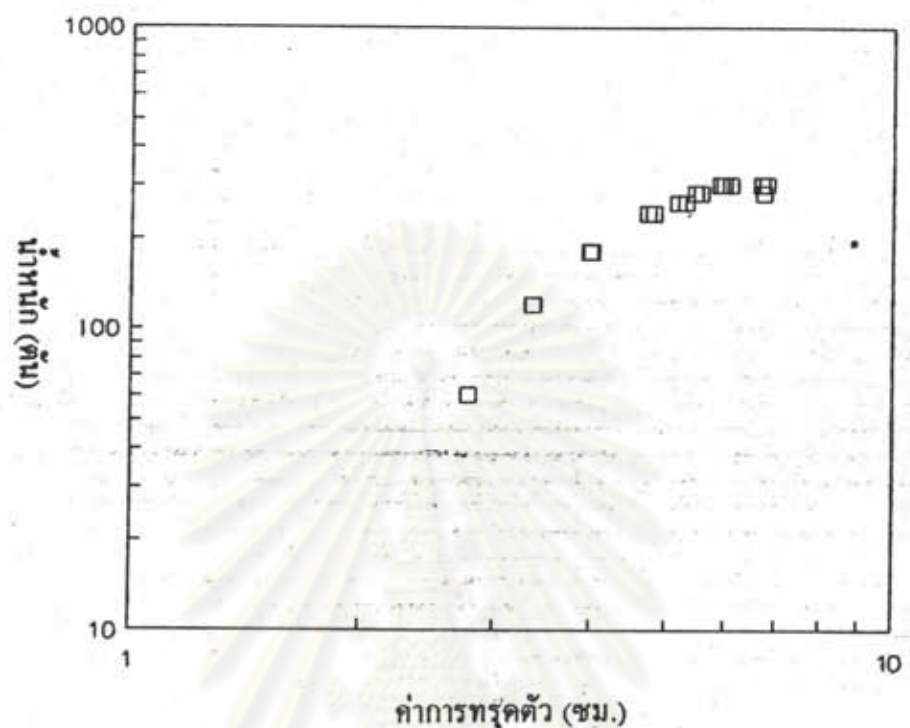
ศูนย์วิทยากรพยากรณ์
จุฬาลงกรณ์มหาวิทยาลัย

รูปที่ ข 10 แสดงการหาค่า้น้ำหนักบรรทุกที่จุดวินดิ โดยบริษัท De Beer (1967)
เส้นเข้มเจาะ T-2 โรงไฟฟ้าพลังงานความร้อนร่วม ราชบุรี

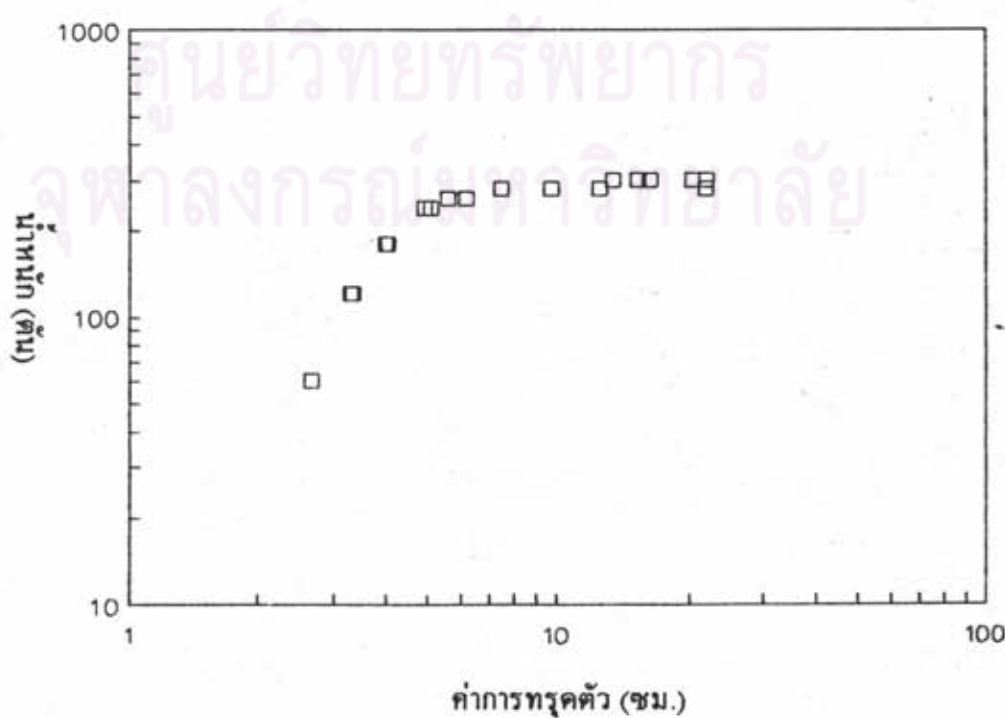


ศูนย์วิทยทรัพยากร
จุฬาลงกรณ์มหาวิทยาลัย

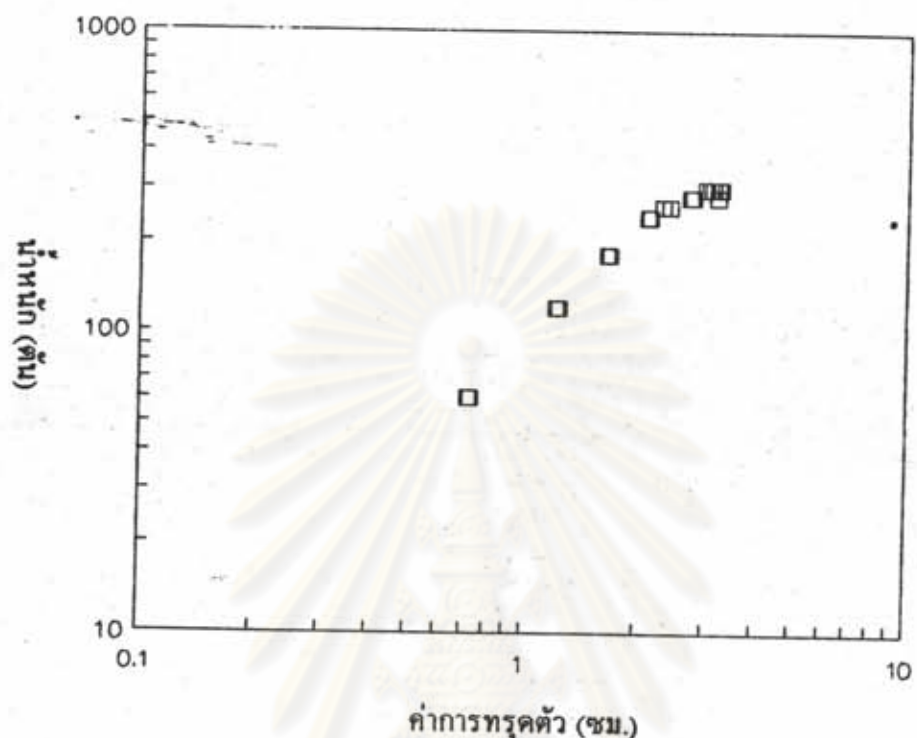
รูปที่ ข 11 แสดงการหาค่า้น้ำหนักบรรทุกที่จุคิบติ โดยวิธีของ De Beer (1967)
เสาเข็มเจาะ T-3 โรงไฟฟ้าพลังงานความร้อนร่วม ระยอง



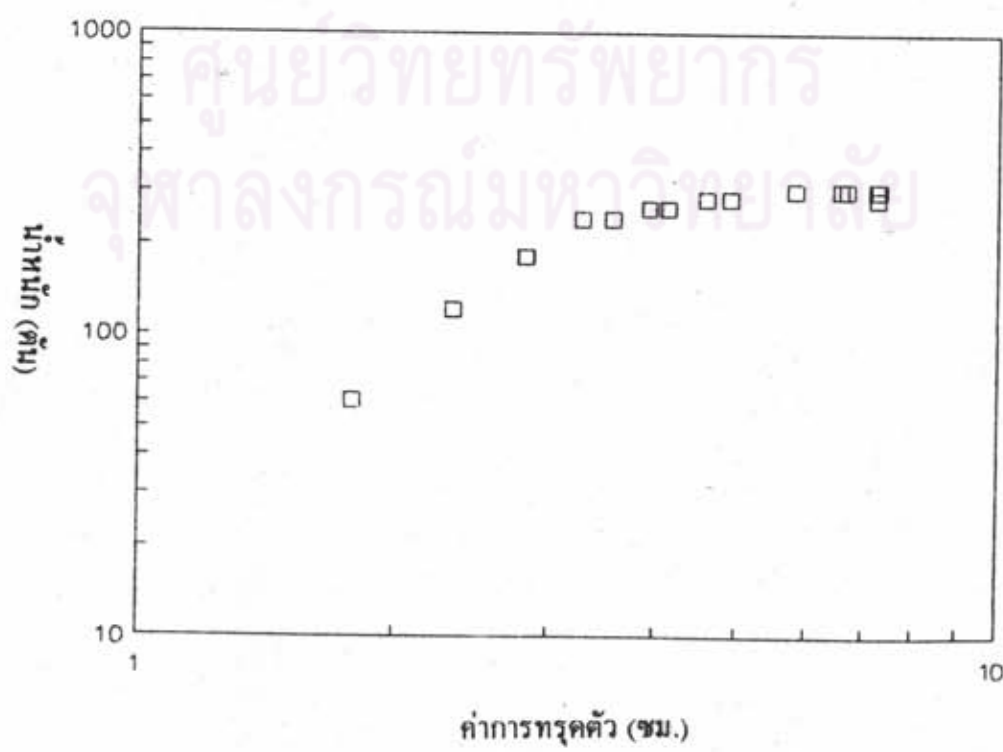
รูปที่ ข 12 แสดงการหาค่า้น้ำหนักบรรทุกที่จุคิบติ โดยวิธีของ De Beer (1967)
เสาเข็มเจาะ T-4 โรงไฟฟ้าพลังงานความร้อนร่วม ระยอง



รูปที่ ข 13 แสดงการหาค่า้น้ำหนักบรรทุกที่จุคิบติ โดยวิธีของ De Beer (1967)
เสาเข็มเจาะ T-5 โรงไฟฟ้าพลังงานความร้อนร่วม ระบบ



รูปที่ ข 14 แสดงการหาค่า้น้ำหนักบรรทุกที่จุคิบติ โดยวิธีของ De Beer (1967)
เสาเข็มเจาะ T-6 โรงไฟฟ้าพลังงานความร้อนร่วม ระบบ





ศูนย์วิทยทรัพยากร
จุฬาลงกรณ์มหาวิทยาลัย

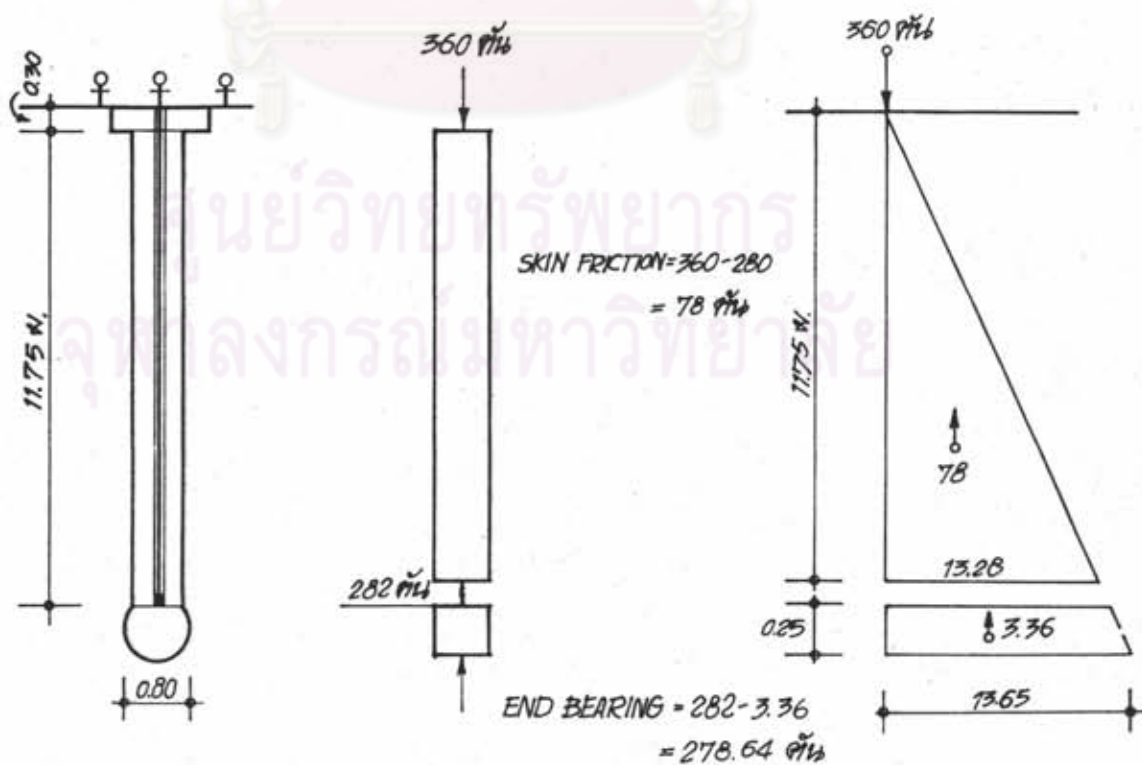
ตัวอย่าง การคำนวณค่า แรงเสียดทาน (skin friction) และ กำลังรับแรงชาร์ (end bearing)
เสาเข็ม Franki P-4 tell-tale rod 11.75 ม. พื้นที่หน้าตัดตัวเสาเข็ม 3,110 ซม.²
Ep 295,000 กก./ซม.

ข้อมูลการทดสอบเสาเข็มที่น้ำหนัก 240 ตัน

ตัวแหนงติดตั้งเครื่องมือวัด (strain gage)	ค่า deflection (มม.)
#1 ที่ ส่วนหัวของเสาเข็ม	4.60
#2 ที่ ระดับ -11.75 ม.	7.13

เสาเข็มส่วนที่ 1 #1	Compressive Strain (มม.)	ค่าน้ำหนักเฉลี่ย (ตัน) ($P=AE\delta/L$)
0-11.75 ม.	2.53	197.54

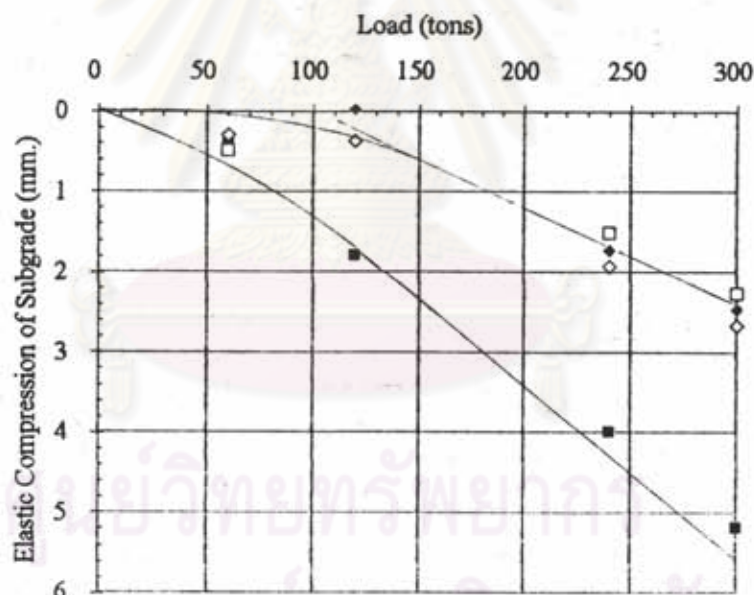
เสาเข็มส่วนที่ 1 #1	น้ำหนักที่หัวเสาเข็ม (ตัน)	ค่าน้ำหนักเฉลี่ย (ตัน)	น้ำหนักที่ส่วนปลาย (ตัน)
0-11.75 ม.	240	197.54	155.09
11.75-12.00 ม.	ใช้วิธีการประมาณ slope ของรูป freebody diagram		



รูปที่ ก 1 แสดงการหาค่าแรงเสียกทานของเสาเข็ม

T-1 โศบห์วิธีการของ Jain(1963)

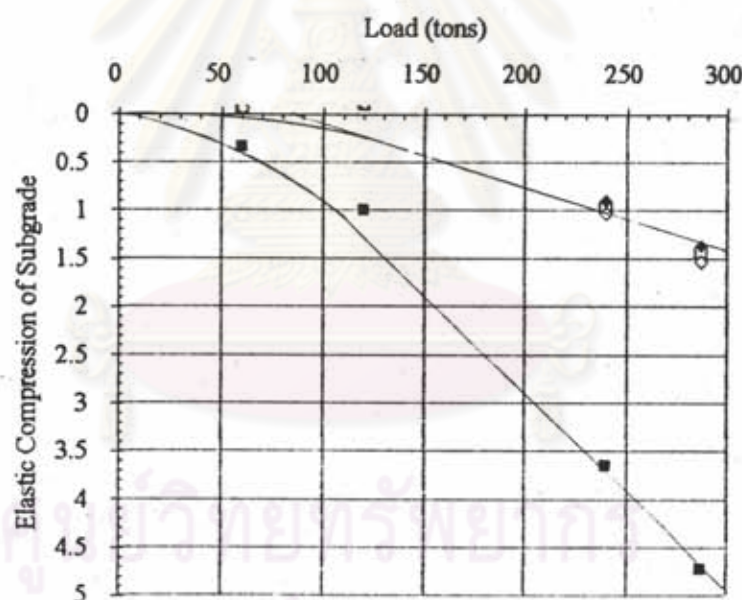
LOAD ON PILE TOP	TOTAL SETTLEMENT OF TOP	NET SETTLEMENT OF TOP	ELASTIC RECOVERY OF TOP	ELASTIC		ELASTIC		LOAD AT TOE, P TONS	FRICTIONAL RESISTANCE, F							
				COMPRESSION OF PILE		COMPRESSION OF SUBGRADE			*							
				(T-F/2)L/AE		MM.	MM.		a	b	c	d				
TONS	MM.	MM.	MM.	MM.					a	b	c	d				
1	2	3	4	5		6		7		8						
				a	b	c	d	a	b	c	d	a	b	c	d	
60	0.91	0.01	0.9	0.3989	0.6	0.6		0.5	0.3	0.3	-20	0	0	80	60	60
120	1.91	0.34	1.57	1.7952	1.6	1.2		-0.2	0	0.37	60	40	0	60	80	120
240	6.01	0.5	5.51	3.989	3.79	3.59		1.52	1.72	1.92	160	140	120	80	100	120
287	-	-	-						-	-	-	-	-	-	-	-
300	11.9	4.45	7.45	5.1861	4.99	4.79		2.26	2.46	2.66	220	200	180	80	100	120



รูปที่ ก ๒ แสดงการหาค่าแรงเสียดทานของเสาเข็ม T-2

โดยวิธีการของ Jain(1963)

LOAD ON PILE TOP TONS	TOTAL SETTLEMENT OF TOP MM.	NET SETTLEMENT OF TOP MM.	ELASTIC RECOVERY OF TOP MM.	ELASTIC COMPRESSION OF PILE (T-F/2)L/AE MM.				ELASTIC COMPRESSION OF SUBGRADE MM.				LOAD AT TOE , P TONS				FRICTIONAL RESISTANCE , F TONS			
				5				6				7				8			
				a	b	c	d	a	b	c	d	a	b	c	d	a	b	c	d
1	2	3	4	0.3924	0.39	0.39	-0.1	0	0	0	60	60	60	60	70	60	60	60	
60	0.33	0	0.33	1.112	1.18	1.11	-0.1	50	60	50	70	60	70	70	70	60	70	70	
120	1	0	1	2.6813	2.75	2.62	0.97	170	180	160	70	60	80	70	70	60	80	70	
240	11.45	7.8	3.65	3.2961	3.36	3.2	1.42	217	227	202	70	60	85	70	70	60	85	70	
287	92.22	87.5	4.72																
300	-	-	-																



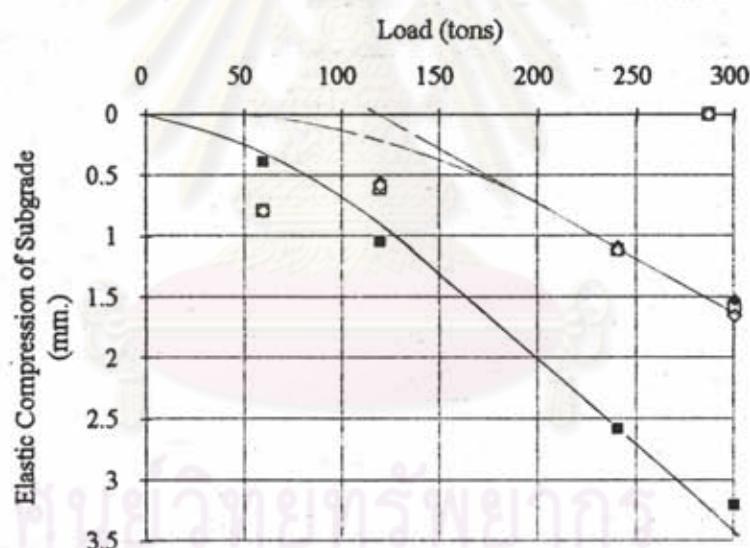
จุฬาลงกรณ์มหาวิทยาลัย

รูปที่ ก 3

แสดงการหาค่าแรงเสียดทานของเสาเข็มเจาะ, T-3

โดยวิธีการของ Jain,(1963)

LOAD ON PILE TOP TONS	TOTAL SETTLEMENT OF TOP MM.	NET SETTLEMENT OF TOP MM.	ELASTIC RECOVERY OF TOP MM.	ELASTIC COMPRESSION OF PILE (T-F/2)L/AE MM.				ELASTIC COMPRESSION OF SUBGRADE MM.				LOAD AT TOE , P TONS				FRICTIONAL RESISTANCE , F TONS			
				a	b	c	d	a	b	c	d	a	b	c	d	a	b	c	d
1	2	3	4	5				6				7				8			
60	1.25	0.06	1.19	0.3924	0.39	0.39		0.8	0.8	0.8		0	0	0		60	60	60	
120	2.07	0.41	1.66	1.046	1.11	1.08		0.61	0.55	0.58		40	50	45		80	70	75	
240	4.65	0.95	3.7	2.5832	2.62	2.58		1.12	1.08	1.12		155	160	155		85	80	85	
287	0	0	0	0	0	0		0	0	0		0	0	0		0	0	0	
300	6.79	1.99	4.8	3.2045	3.27	3.14		1.6	1.53	1.66		190	200	180		110	100	120	



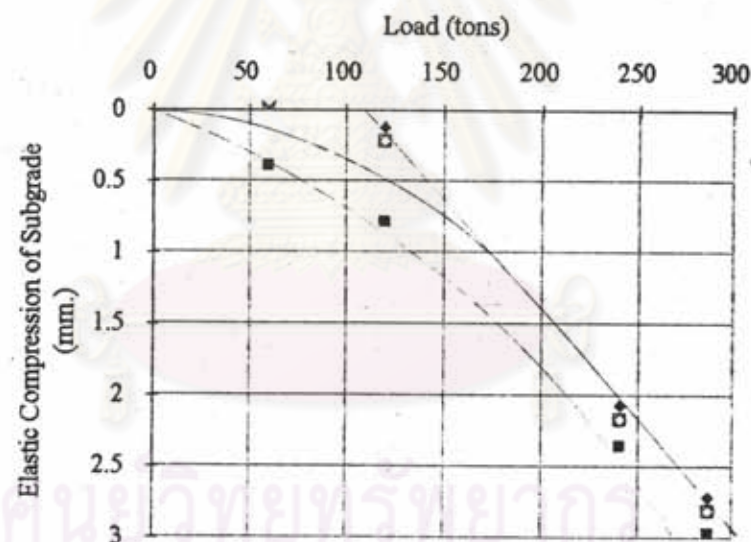
จุฬาลงกรณ์มหาวิทยาลัย

รูปที่ ก 4

แสดงการหาค่าแรงเสียดทานของเสาเข็มเจาะ, T-4

โดยวิธีการของ Jain,(1963)

LOAD ON PILE TOP TONS	TOTAL SETTLEMENT OF TOP MM.	NET SETTLEMENT OF TOP MM.	ELASTIC RECOVERY OF TOP MM.	ELASTIC COMPRESSION OF PILE (T-F/2)L/AE MM.				ELASTIC COMPRESSION OF SUBGRADE MM.				LOAD AT TOE, P TONS				FRICTIONAL RESISTANCE, F TONS			
				5				6				7				8			
				a	b	c	d	a	b	c	d	a	b	c	d	a	b	c	d
60	0.33	0	0.33	0.3924	0.39	0.39		-0.1	-0.1	-0.1		0	0	0		60	60	60	
120	1	0	1	0.785	0.88	0.78		0.22	0.12	0.22		0	15	0		120	105	120	
240	11.45	6.93	4.52	2.3544	2.45	2.35		2.17	2.07	2.17		120	135	120		120	105	120	
287	92.22	86.44	5.78	2.9691	3.07	2.97		2.81	2.71	2.81		167	182	167		120	105	120	
300	-	-																	

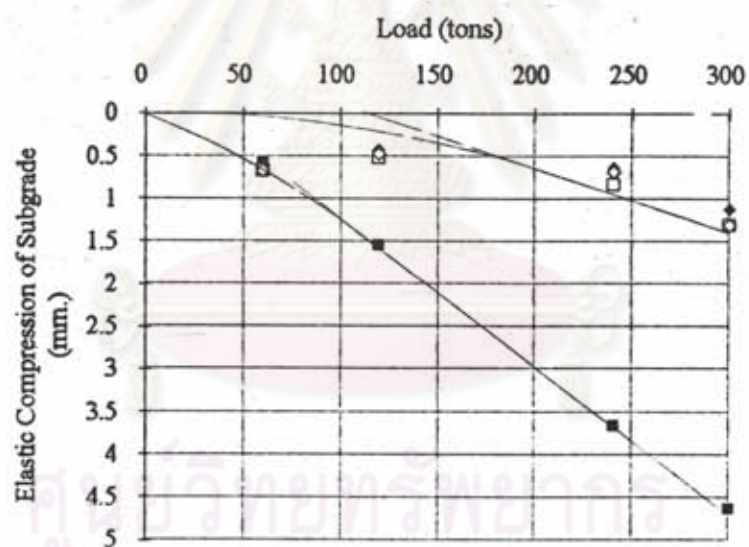


รูปที่ ก 5

แสดงการหาค่าแรงเสียดทานของเสาเข็มเจาะ, T-5

โดยวิธีการของ Jain,(1963)

LOAD ON PILE TOP TONS	TOTAL SETTLEMENT OF TOP MM.	NET SETTLEMENT OF TOP MM.	ELASTIC RECOVERY OF TOP MM.	ELASTIC COMPRESSION OF PILE (T-F/2)L/AE MM.				ELASTIC COMPRESSION OF SUBGRADE MM.				LOAD AT TOE , P TONS		FRICTIONAL RESISTANCE , F TONS			
				5				6				7		8			
		a	b	c	d	a	b	c	d	a	b	c	d	a	b	c	d
60	1.25	0	1.25	0.5788	0.58	0.58	0.67	0.67	0.67	0	0	0	0	60	60	60	
120	2.07	0	2.07	1.543	1.64	1.59	0.53	0.43	0.48	40	50	45	0	80	70	75	
240	4.65	0.15	4.5	3.6656	3.86	3.81	0.83	0.64	0.69	140	160	155	0	100	80	85	
287	0	0	0	0	0	0	0	0	0	0	0	0	0	0	0	0	
300	6.79	0.85	5.94	4.6302	4.82	4.63	1.31	1.12	1.31	180	200	180	0	120	100	120	



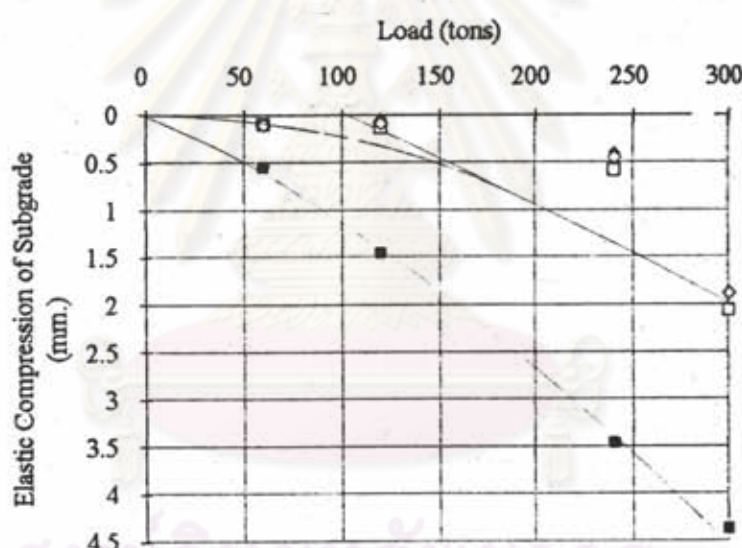
จุฬาลงกรณ์มหาวิทยาลัย

รูปที่ ก 6

แสดงการหาค่าแรงเสียดทานของเสาเข็มเจาะ, T-6

โดยวิธีการของ Jain,(1963)

LOAD ON PILE TOP TONS	TOTAL SETTLEMENT OF TOP MM.	NET SETTLEMENT OF TOP MM.	ELASTIC RECOVERY OF TOP MM.	ELASTIC COMPRESSION OF PILE (T-F/2)L/AE MM.				ELASTIC COMPRESSION OF SUBGRADE MM.				LOAD AT TOE , P TONS				FRICTIONAL RESISTANCE , F TONS			
				5				6				7				8			
				a	b	c	d	a	b	c	d	a	b	c	d	a	b	c	d
60	0.65	0	0.65	0.5466	0.55	0.55		0.1	0.1	0.1		0	0	0		60	60	60	
120	1.59	0	1.59	1.458	1.55	1.5		0.13	0.04	0.09		40	50	45		80	70	75	
240	4.25	0.2	4.05	3.462	3.64	3.6		0.59	0.41	0.45		140	160	155		100	80	85	
287	0	0	0	0	0	0		0	0	0		0	0	0		0	0	0	
300	7.29	0.85	6.44	4.373	4.56	4.56		2.07	1.88	1.88		180	200	200		120	100	100	



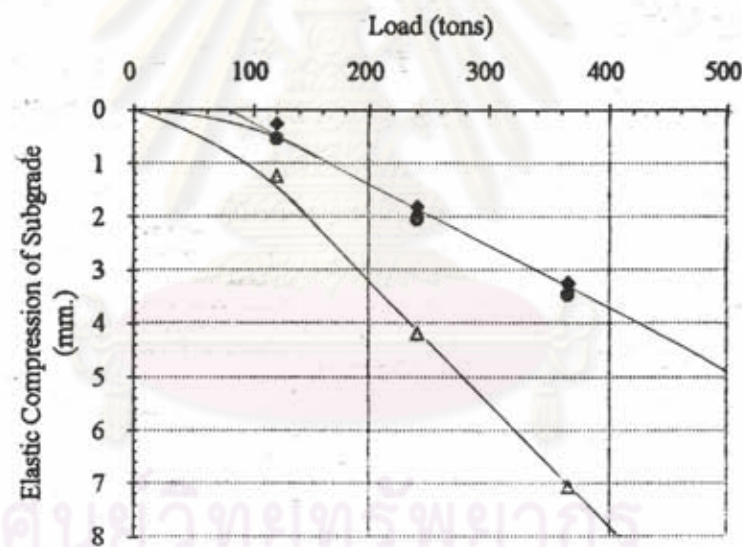
ศูนย์วิทยบรพยากร
จุฬาลงกรณ์มหาวิทยาลัย

รูปที่ ก 7

แสดงการหาค่าแรงเสีย�힘ของเสาเข็ม,(P-6)

โดยวิธีการของ Jain

LOAD ON PILE TOP TONS	TOTAL SETTLEMENT OF TOP MM.	NET SETTLEMENT OF TOP MM.	ELASTIC RECOVERY OF TOP MM.	ELASTIC COMPRESSION OF PILE (T-F/2)L/AE MM.				ELASTIC COMPRESSION OF SUBGRADE MM.				LOAD AT TOE, P TONS				FRICTIONAL RESISTANCE, F TONS			
				5 a	5 b	5 c	5 d	6 a	6 b	6 c	6 d	7 a	7 b	7 c	7 d	8 a	8 b	8 c	8 d
120	2.25	1.01	1.24	0.98	0.69	0.69	1	0.26	0.55	0.55	##	50	0	0	0	70	120	120	
240	7.88	3.69	4.19	2.37	2.14	2.26	3	1.82	2.05	1.93	1	170	130	150	150	70	110	90	
365	93.31	86.26	7.05	3.82	3.59	3.76	4	3.23	3.46	3.29	3	295	255	285	285	70	110	80	

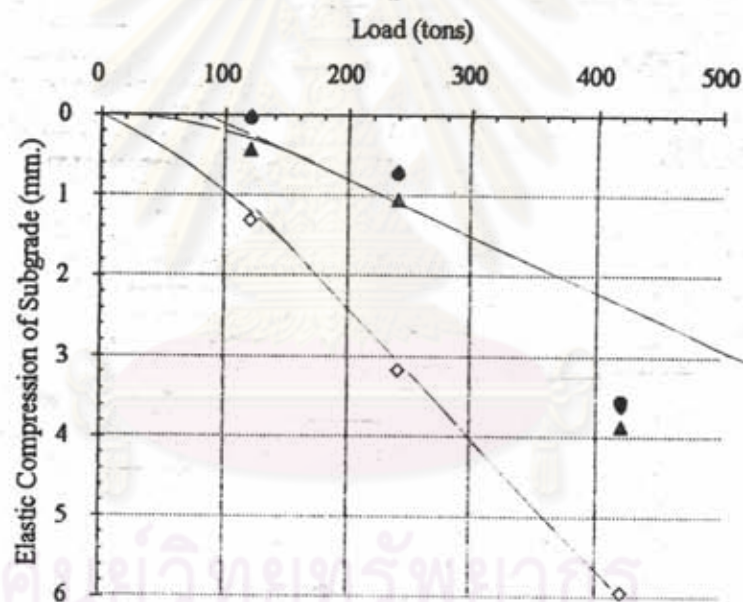


ศูนย์อุดมศึกษาฯ
จุฬาลงกรณ์มหาวิทยาลัย

รูปที่ ก 8 เมตรคากาแรงเสียดทานของเตาเจิม,(P-

7) โภชนาการของ Jain (1963)

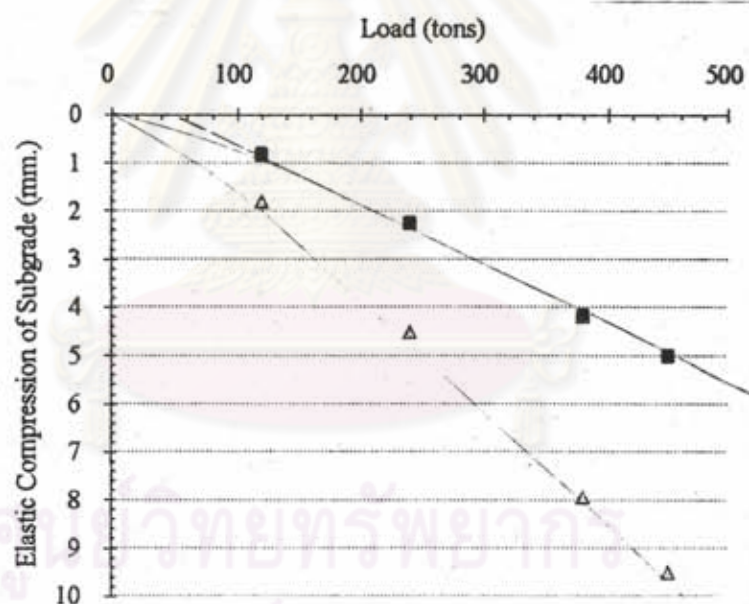
LOAD ON PILE TOP TONS	TOTAL SETTLEMENT OF TOP MM.	NET SETTLEMENT OF TOP MM.	ELASTIC RECOVERY OF TOP MM.	ELASTIC COMPRESSION OF PILE (T-F/2)L/AE MM.				ELASTIC COMPRESSION OF SUBGRADE MM.				LOAD AT TOE , P TONS				FRICTIONAL RESISTANCE , F TONS					
				5				6				7				8					
		a	b	c	d	a	b	c	d	a	b	c	d	a	b	c	d	a	b	c	d
120	1.97	0.61	1.36	1.31	0.93	1.35	2	0.05	0.43	0.01	#	50	0	55		70	120	65			
240	7.32	3.42	3.9	3.16	2.86	3.2	4	0.74	1.04	0.7	0	170	130	175		70	110	65			
420	97	87.51	9.49	5.94	5.63	5.86	6	3.55	3.86	3.63	3	350	310	340		70	110	80			



รูปที่ ก 9 แสดงการหาค่าแรงเสียดทานของเสาเข็ม,(P-

8) โดยวิธีการของ Jain

LOAD ON PILE TOP TONS	TOTAL SETTLEMENT OF TOP MM.	NET SETTLEMENT OF TOP MM.	ELASTIC RECOVERY OF TOP MM.	ELASTIC COMPRESSION OF PILE (T-F/2)L/AE MM.				ELASTIC COMPRESSION OF SUBGRADE MM.				LOAD AT TOE, P TONS				FRICTIONAL RESISTANCE, F TONS			
				5				6				7				8			
				a	b	c	d	a	b	c	d	a	b	c	d	a	b	c	d
120	2.29	0.49	1.8	1.01	0.96	0.98	1	0.79	0.84	0.82	1	70	60	65		50	60	55	
240	6.67	2.17	4.5	2.29	2.24	2.26	3	2.21	2.26	2.24	2	190	180	185		50	60	55	
380	19.6	11.68	7.92	3.78	3.73	3.75	4	4.14	4.19	4.17	4	330	320	325		50	60	55	
450	26.07	16.57	9.5	4.52	4.47	4.5	5	4.98	5.03	5	5	400	390	395		50	60	55	

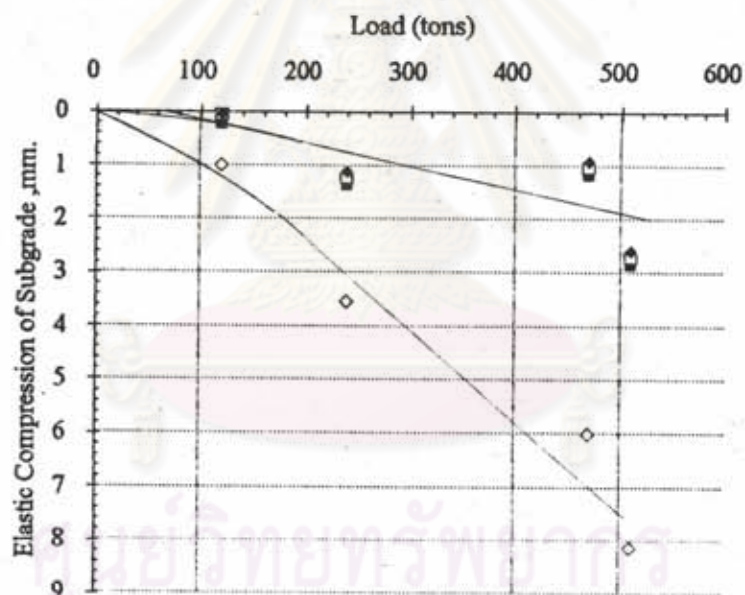


จุฬาลงกรณ์มหาวิทยาลัย

รูปที่ ๑๐ เมตรการหาค่าแรงเสียดทานของเสาเข็ม,(P-

9) โภชนาการของ Jain(1963)

LOAD ON PILE TOP TONS	TOTAL SETTLEMENT OF TOP MM.	NET SETTLEMENT OF TOP MM.	ELASTIC RECOVERY OF TOP MM.	ELASTIC COMPRESSION OF PILE (T-F/2)L/AE MM.				ELASTIC COMPRESSION OF SUBGRADE MM.				LOAD AT TOE , P TONS				FRICTIONAL RESISTANCE , F TONS			
				5				6				7				8			
				a	b	c	d	a	b	c	d	a	b	c	d	a	b	c	d
120	1.69	0.69	1	0.78	0.93	0.95	1	0.22	0.07	0.05	0	15	40	45	105	80	75		
240	5.47	1.92	3.55	2.17	2.32	2.43	3	1.38	1.23	1.12	1	135	160	180	105	80	60		
470	8.56	13.55	6.01	4.83	4.98	5.09	5	1.18	1.03	0.92	1	365	390	410	105	80	60		
510	25.91	17.77	8.14	5.3	5.44	5.56	6	2.84	2.7	2.58	2	405	430	450	105	80	60		



จุฬาลงกรณ์มหาวิทยาลัย



ภาคผนวก ๔

ศูนย์วิทยทรัพยากร จุฬาลงกรณ์มหาวิทยาลัย



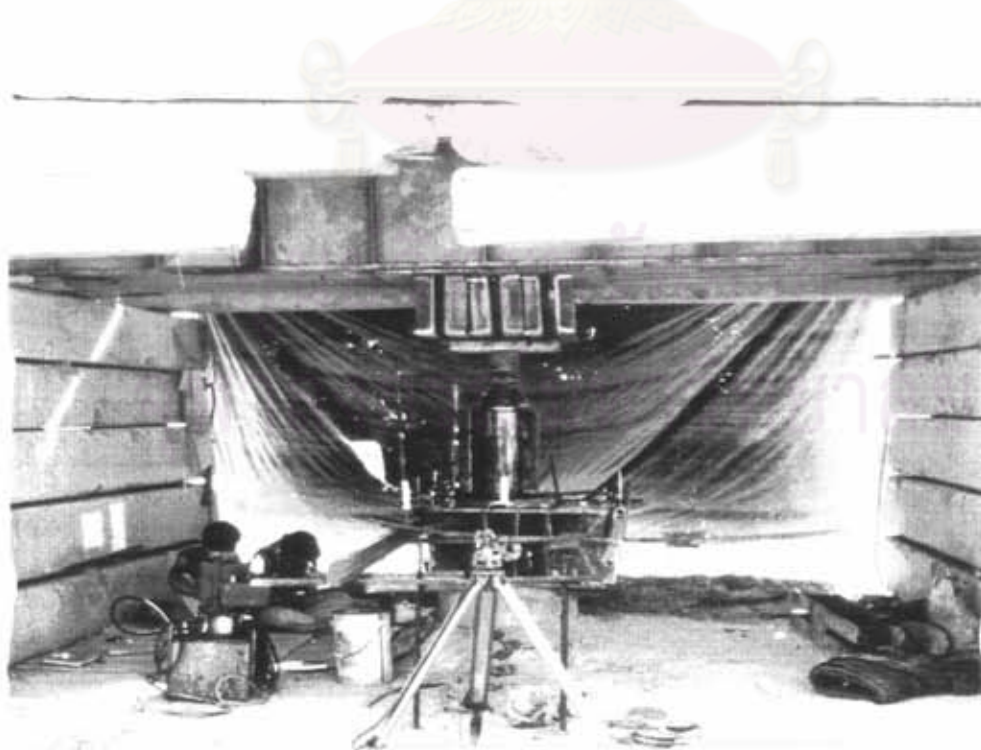
ภาพที่ 1 ลักษณะของเข็มตอกที่ใช้กันโดยทั่วไป
นักมีปัญหาคือ การตอกไม่ถึงความลึกที่ได้ออกแบบและเสาเข็มหัก



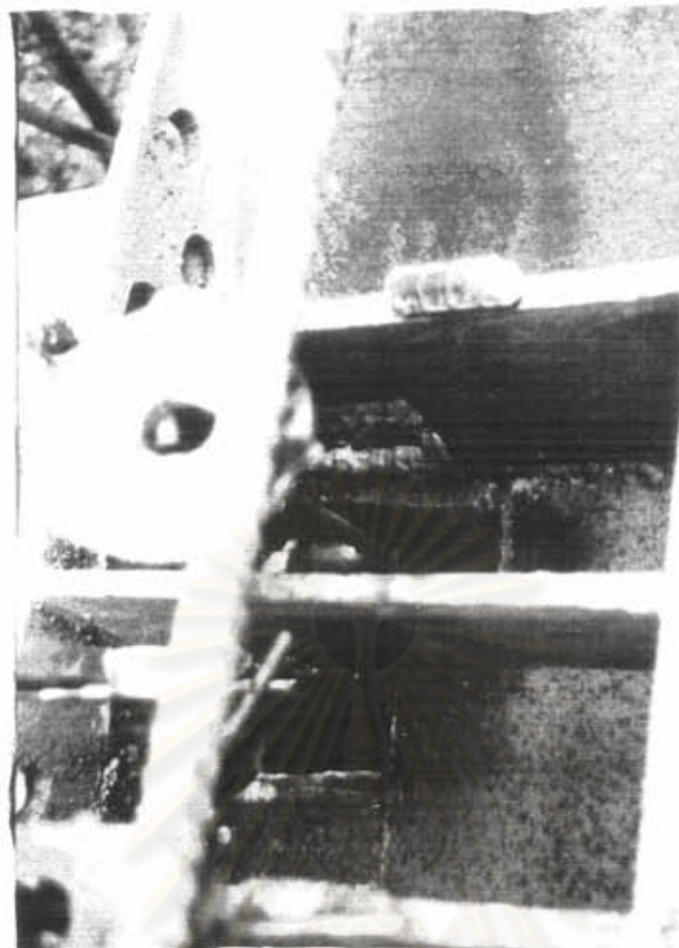
ภาพที่ 2 ปืนจั่น "Franki" สำหรับตอกเสาเข็ม Franki



ภาพที่ 3 ขบวนทำการเท "คอนกรีตแห้ง" (dry mixed concrete)
เพื่อทำการตอกขยายฐาน (expanded base)



ภาพที่ 4 ทดสอบเสาเข็นโดยวิธีการ Maintain Load Test



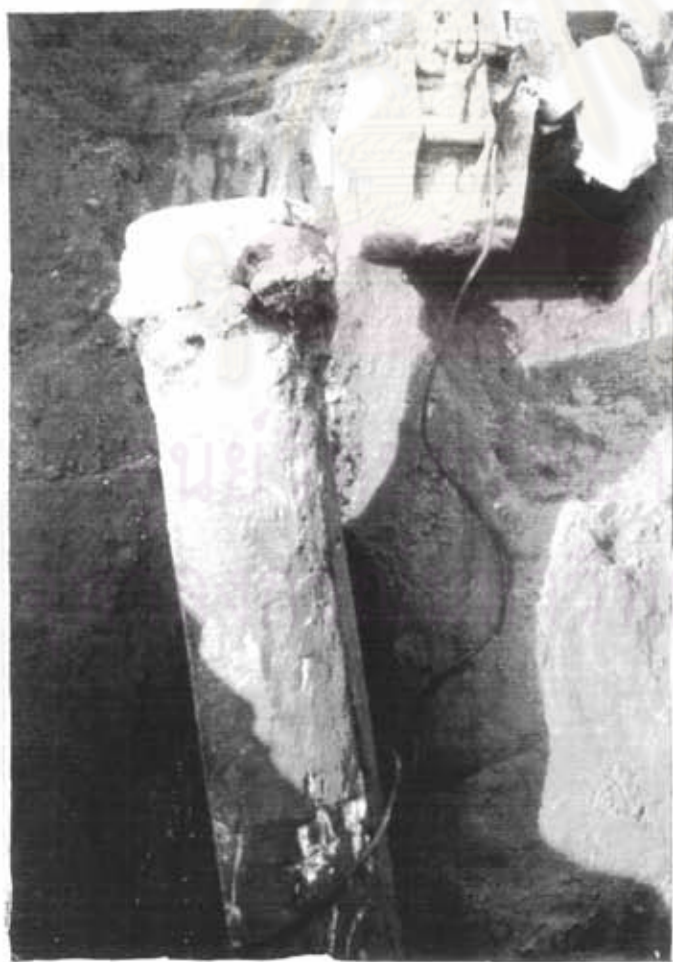
ภาพที่ 5 เจาะแผ่นเหล็กเพื่อให้สามารถวัดค่า Strain ของเสาเข็ม โดยใช้ tell-tale rod



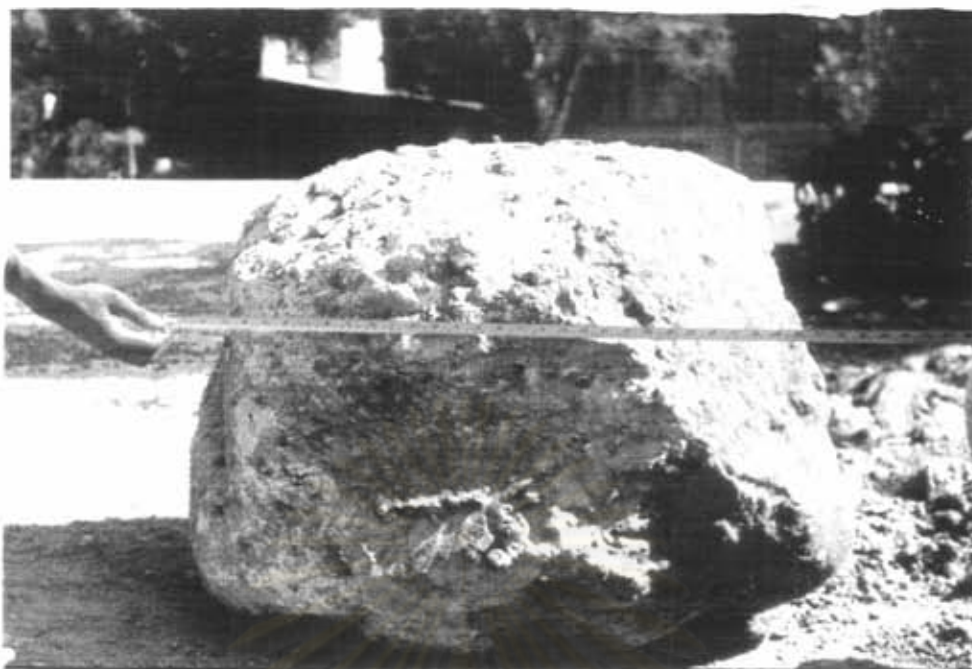
ภาพที่ 6 ขณะทำการเปิดหน้าดินเพื่อทำการขุดเสาเข็มขึ้นมา



ภาพที่ 7 ทำการวัดขนาดของฐานเสาเข้มขมะหังคงอยู่ในดิน



ภาพที่ 8 ขมะทำการผูกเสาเข้มด้วยสติง เพื่อเตรียมถากเข็นจากหุบ



ภาพที่ 9 ขนาดของฐานเสาเข็มเมื่อขุดขึ้นมาวัดเส้นผ่าศูนย์กลางประมาณ 80 ซม.



ภาพที่ 10 ภาพของเนื้อคอนกรีตแห้ง เมื่อยุ่งในสภาพแข็งตัวแล้ว ภายหลังจากการตัดพบว่า ส่วนผสมของปูนทราย และหินหน้าเข้ากันได้ดี โดยรอยตัดแสดงว่า เม็ดหินแตกออกและไม่หลุดออกจากส่วนผสมคอนกรีต

ประวัติผู้เขียน

นาย นริศ ชาญไกวาทย์ เกิดเมื่อวันที่ 6 ตุลาคม พ.ศ. 2505 ที่ กรุงเทพมหานคร
สำเร็จการศึกษา ปริญญาตรีวิศวกรรมศาสตร์บัณฑิต สาขาวิชาไฟฟ้า ที่มหาวิทยาลัยเก็นทรี้ศาสตร์

